

2 Ej. Dc. 25



UNIVERSIDAD NACIONAL AUTONOMA DE MEXICO

FACULTAD DE QUIMICA

SINTESIS DE 1 OC, 2 OC; 6 OC, 7 OC; 16 OC, 17 OC-
TRICICLOMETILEN - 4 - PREGNEN - 3, 20 - DIONA
Y 6 OC, 7 OC; 16 OC, 17 OC - DIEPOXI - 1, 4-
PREGNADIEN - 3, 20 - DIOL



EXAMENES PROFESIONALES
FAC. DE QUIMICA

T E S I S

QUE PARA OBTENER EL TITULO DE

Q U I M I C O

P R E S E N T A :

ROSA ELVA RIVERA SANTILLAN

MEXICO, D. F.

1984



UNAM – Dirección General de Bibliotecas

Tesis Digitales
Restricciones de uso

DERECHOS RESERVADOS ©
PROHIBIDA SU REPRODUCCIÓN TOTAL O PARCIAL

Todo el material contenido en esta tesis está protegido por la Ley Federal del Derecho de Autor (LFDA) de los Estados Unidos Mexicanos (México).

El uso de imágenes, fragmentos de videos, y demás material que sea objeto de protección de los derechos de autor, será exclusivamente para fines educativos e informativos y deberá citar la fuente donde la obtuvo mencionando el autor o autores. Cualquier uso distinto como el lucro, reproducción, edición o modificación, será perseguido y sancionado por el respectivo titular de los Derechos de Autor.

I N D I C E

		Pág.
CAPITULO	I: INTRODUCCION	1
	Esquema A	4
CAPITULO	II: GENERALIDADES	9
CAPITULO	III: DISCUSION	13
	Esquema B	14
CAPITULO	IV: PARTE EXPERIMENTAL	23
	Notas	24
CAPITULO	V: ESPECTROS	40
CAPITULO	VI: CONCLUSIONES	67
CAPITULO	VII: BIBLIOGRAFIA	68

INTRODUCCION

Desde los tiempos más remotos uno de los problemas que enfrenta la humanidad es el concerniente a las enfermedades.

En la antiguedad el hombre para curar estas enfermedades mezcló hierbas y órganos de animales de acuerdo a creencias astrológicas y religiosas¹. Las interpretaciones y deducciones producidas - por la necesidad de curar llevaron a la humanidad a la creación de una medicina empírica², que aunque llegó a tener algunos resultados positivos, adquiridos por la experiencia, tales como la acción de la quinina en las fiebres palúdicas, del mercurio en la sifilis, etc., hubo quienes dudaron de su eficiencia. Paracelso (1493-1541) observó que todas las cosas son venenosas, y ésto sólo depende de la dosis¹.

Hacia el siglo XVIII se lograron identificar algunos principios activos dentro de los medicamentos de esta medicina empírica. Durante el siglo XIX se efectuó una revolución científica dentro - de ella. Con el desarrollo de nuevos métodos experimentales se pudieron separar los principios eficaces de los inútiles. A finales del siglo la industria química alemana se orientó hacia la obtención de nuevos fármacos. A principios del siglo XX, con el uso de estos, se produjo un gran número de éxitos. Morton (1819-1868) introdujo el uso del éter como anestésico, Lister (1827-1912) y Sem-

Melweis (1818-1865) el uso de antisépticos, Ehrlich (1854-1915) un compuesto sintético para combatir la sífilis y Behring (1854-1917) las antitoxinas¹.

A partir de la Segunda Guerra Mundial se manifestó una gran expansión de la investigación y de la industria en el área farmacéutica con un mayor número y diversidad de fármacos. Esto condujo a un aumento del número de enfermedades que se pueden prevenir, controlar y curar, pues, al tiempo que se sintetizaron nuevos fármacos y se modificaron los ya existentes, se incrementó su uso, y con él, el número de reacciones tóxicas, puesto que, dentro de los límites normales de dosificación muchos fármacos tienen efectos colaterales inevitables².

Entre los fármacos de este tipo se encuentran algunos esteroides, compuestos caracterizados por poseer un esqueleto del tipo -perhidrociclopenteno fenantreno (I, esquema A) de estructura molecular relativamente plana (II) y que incluyen: esteroles, ácidos biliares, hormonas sexuales, hormonas adrenocorticales, glicósidos cardiotónicos, sapogeninas, algunos alcaloides, etc.³. Los andrógenos son particularmente un grupo complejo de hormonas sexuales⁴ y, curiosamente, los antiandrógenos son compuestos, generalmente de tipo esteroidal, que presentan antagonismo a los andrógenos en su sitio de acción, por lo que, como fármacos, tienen aplicación en varios tipos de cáncer y otras enfermedades⁵.

En la actualidad el antiandrógeno más potente que se conoce es el acetato de ciproterona⁵ (III, esquema A), sin embargo, pre-

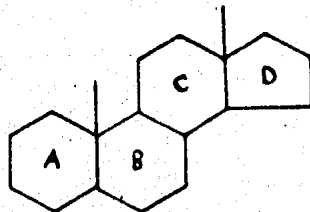
senta también efectos progestacionales colaterales que limitan su uso en el tratamiento de pacientes del sexo masculino, razón por la cual, actualmente la investigación en este campo se orienta hacia el desarrollo de nuevos fármacos con la máxima separación posible de las actividades progestacional y antiandrogénica.

Con el análisis de la relación entre la estructura molecular y la actividad biológica del acetato de ciprotérona (III, esquema A) y algunos compuestos análogos⁵, se observa que la actividad antiandrogénica se debe, al menos en parte, a la presencia en el núcleo esterooidal del α -ciclometileno (ciclopropano) en los carbonos C₁-C₂, del doble enlace y del sustituyente cloro (Cl) en C₆ y del grupo α -acetoxi en C₁₇; los cuales, en conjunto, hacen relativamente más plana la molécula esterooidal.

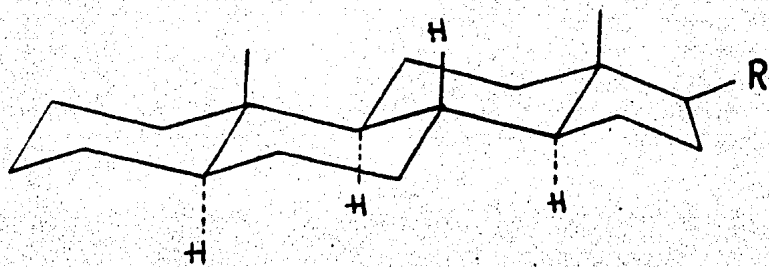
Se ha observado también que la planaridad de la molécula de esteroide eleva la actividad biológica debido a que permite la formación más rápida del complejo esteroide-receptor.

En base a lo anterior, el presente trabajo se hizo con el objeto de obtener esteroides más planos, que permitan evaluar, mediante estudios farmacológicos posteriores la importancia de los grupos α -ciclometilén, α -epoxi y doble enlace en las posiciones correspondientes sobre la actividad antiandrogénica. Así, se plantearon las síntesis de dos nuevos análogos del acetato de ciprotérona (III, esquema A) derivados de la progesterona (IV). Uno se estos derivados con tres ciclometilenos (ciclopropanos) en los carbonos C₁-C₂, C₆-C₇ y C₁₆-C₁₇ y el otro con un doble enlace en C₁, y -

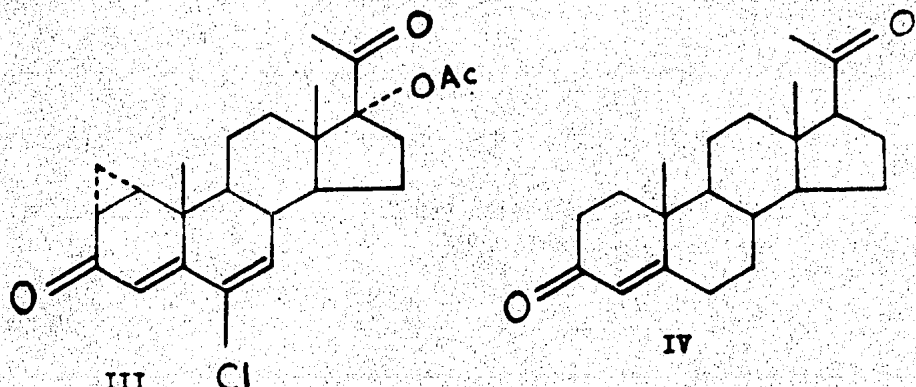
E S Q U E M A A



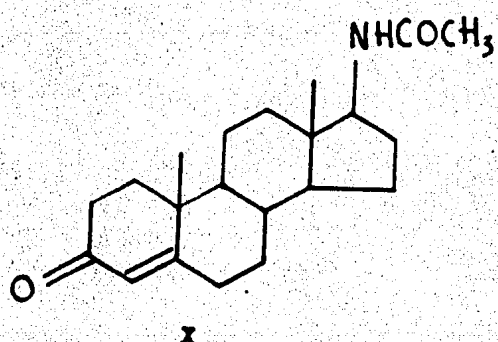
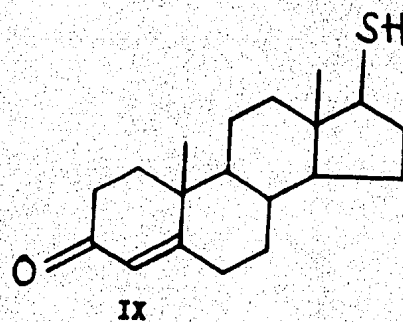
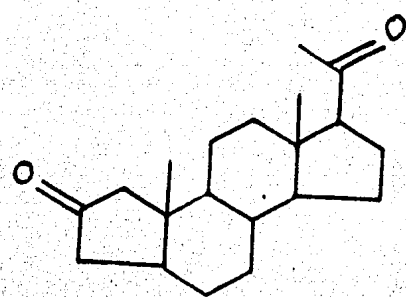
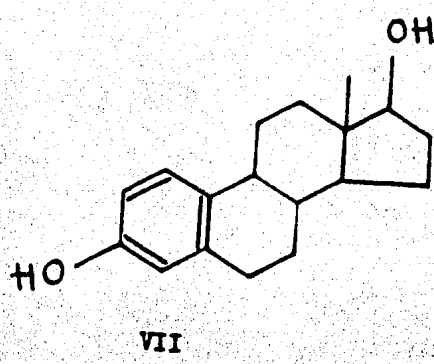
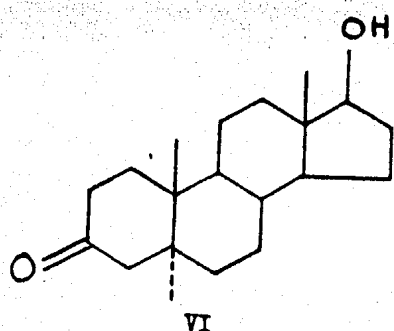
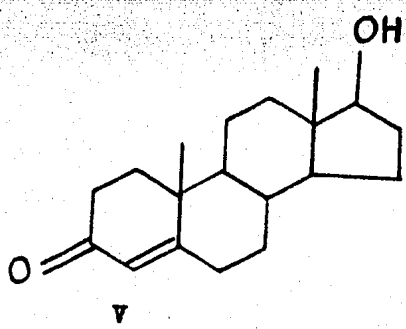
I

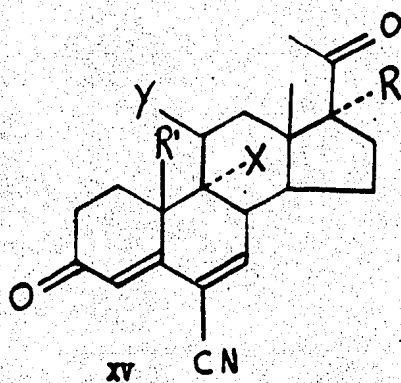
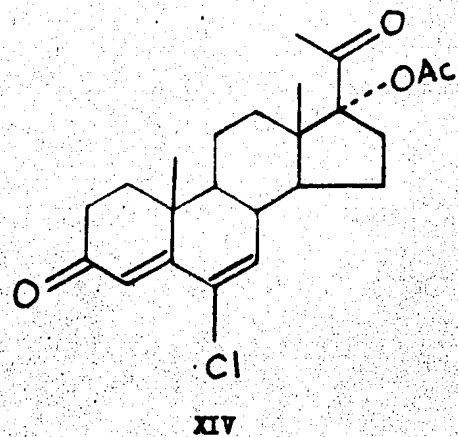
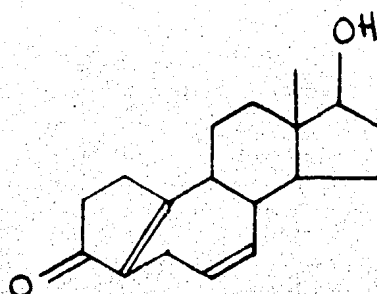
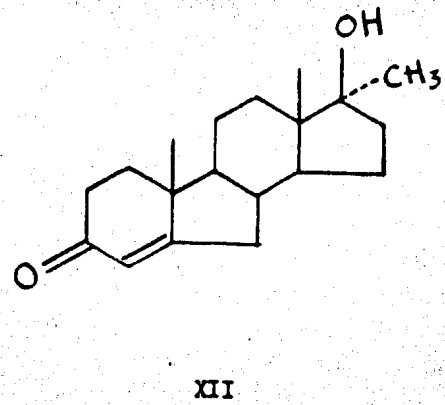
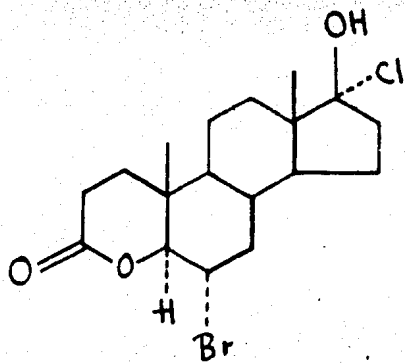


II



III Cl IV



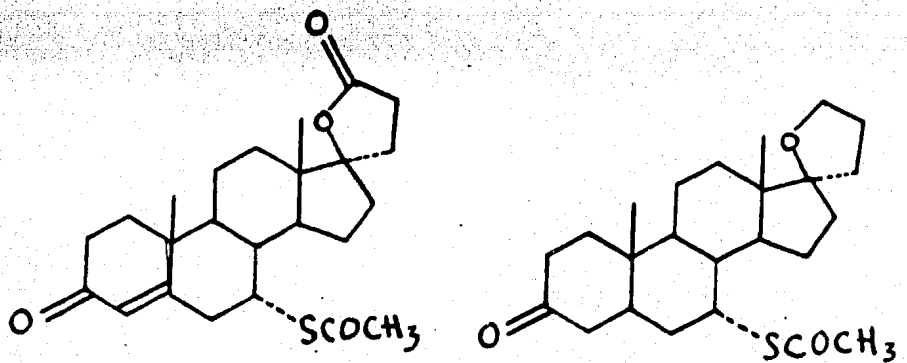


R = H, OH, C₆H₅

R' = CH₃, H

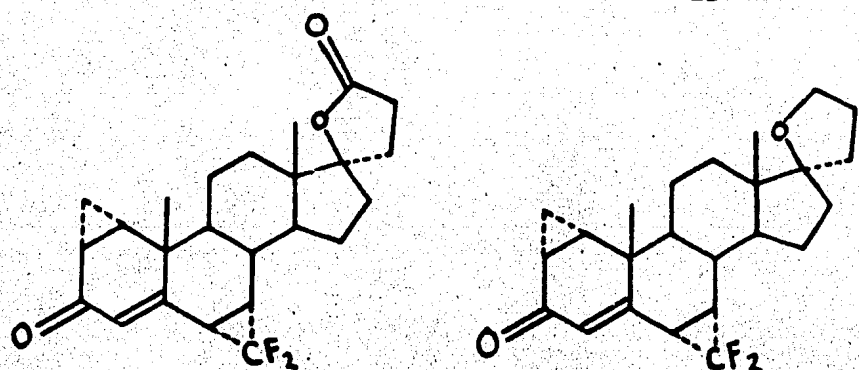
X = F, H

Y = H, β -CH, keto



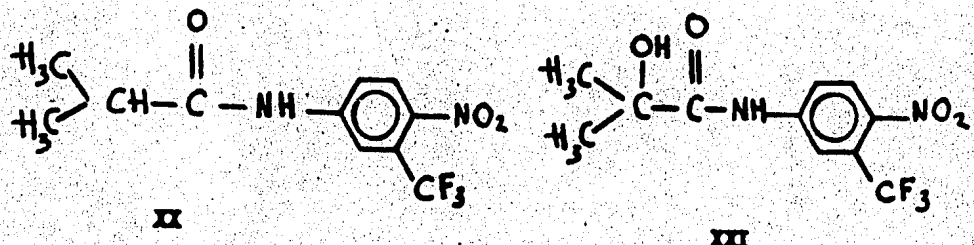
XVI

XVII



XVIII

XIX



dos epóxidos en C₆-C₇ y C₁₆-C₁₇.

GENERALIDADES

Los andrógenos son un grupo de hormonas esteroideas caracterizadas por su efecto biológico sobre los caracteres sexuales primarios y secundarios de varios animales machos. Son secretados, no sólo por los testículos, sino también por los ovarios y la corteza suprarrenal. Dentro de los naturales el más potente es la testosterona (V, esquema A), secretada por las células de Leydig, las cuales se encuentran en los testículos. Otros tejidos como el hígado y la próstata humana contribuyen en forma mínima en la elaboración de andrógenos. La síntesis de éstos en los testículos se regula por el estímulo de la hormona leuteinizante (LH) en las células de Leydig y de la hormona folículoestimulante (FSH) en el epitelio germinal⁵.

Los antiandrógenos son sustancias químicas (generalmente esteroides) sintéticas, aunque también se encuentran de origen endógeno, que reducen los efectos biológicos de los andrógenos en los órganos blanco sensibles a éstos. Esto se debe principalmente a la competencia directa que existe entre los antiandrógenos y los andrógenos naturales para enlazarse con la misma proteína receptora. Sin embargo, puede deberse también a la modificación de la entrada de la testosterona (V, esquema A) a la célula o a la inhibición de su conversión en la forma activa 5 α -dihidrotestosterona (DTH).

(VI)⁵.

Debido a la competencia para unirse al mismo receptor, se ha observado, al administrar antiandrógenos a animales de laboratorio y al hombre, que los órganos sexuales disminuyen en tamaño y en su función secretora. Por esta razón, estos compuestos, se utilizan - como fármacos en el tratamiento efectivo de varias enfermedades, - en especial, el cáncer prostático, otras enfermedades de la prósta- ta, el acné, el exceso de vello y virilización en mujeres, la pu- bertad precoz en niños, etc.⁷.

Aunque anteriormente los estrógenos (hormonas sexuales femeni- nas como el estradiol (VII, esquema A)) se utilizaban en el trata- miento de enfermedades producidas por la alteración del nivel de - andrógenos, no se consideran como antiandrógenos debido a que con- trarrestan el estímulo androgénico de la hormona leuteinizante - (LH), es decir, inhiben, en forma antigonadotrópica, la producción de testosterona (V), mientras que los antiandrógenos sólo antagoni- zan a los andrógenos en el mismo tejido blanco⁵.

Existen básicamente dos formas de sintetizar un esteroide an- tiandrográfico:

1) Producido cambios en la estructura de la testosterona - (V, esquema A) de manera que se obtenga un efecto antagonista, es - decir, que el compuesto sintetizado interaccione con el receptor, sin producir efectos androgénicos, bloqueando la formación del com- plejo andrógeno-receptor.

2) Modificando la molécula de progesterona (IV, esquema A) - con el fin de producir una separación en las actividades progestacional y antiandrogénica (la progesterona tiene cierto efecto antiandrogénico, pero por sus efectos progestacionales no puede ser utilizada).

Muchos de los compuestos antiandrogénicos sintéticos se han obtenido por medio de estos métodos; entre ellos se encuentran la Δ -nor progesterona (VIII, esquema A), compuestos relacionados con la testosterona (V) con introducción de heteroátomos en la molécula (IX y X) y modificaciones más complejas de la molécula de testosterona (XI, XII y XIII).

La modificación más efectiva de la molécula de progesterona lograda hasta la fecha, es la introducción del α -ciclometileno (ciclopropano) en C₁-C₂. Dentro de este tipo de compuestos el representante más efectivo es el acetato de ciproterona (III, esquema A), único antiandrógeno de uso actual como medicamento. Este compuesto se considera como un derivado del progestágeno acetato de clormadinona (XIV). La importancia del grupo α -ciclometileno (ciclopropano) se basa en el hecho de que el acetato de clormadina (XIV) sólo alcanza una actividad de 50 a 75 por ciento de la del acetato de ciproterona (III)⁶.

Se ha observado también que compuestos con diversas estructuras que contienen un grupo ciano (CN) en C₆ (XV, esquema A) presentan actividad antiandrogénica⁸; por lo que, es lógico pensar que -

un compuesto análogo al acetato de ciproterona (III) en el cual se sustituya al cloro (Cl) de C₆ por un grupo más electronegativo, se rá un antiandrógeno muy potente.

También se han reportado compuestos antiandrogénicos que no son derivados de la testosterona o de la progesterona⁵. Entre los más importantes están algunos derivados de la spironolactona (XVI, esquema A) y de la spiroxasona (XVII) y, en especial, aquellos (XVIII y XIX) que contienen características semejantes a las del acetato de ciproterona (III).

Se han encontrado compuestos esteroideos tales como la flutamide (XI, esquema A) y su metabolito hidroxilado (XXI) que presentan actividad antiandrogénica y posible aplicación en el tratamiento de cáncer prostático⁵.

Las pruebas farmacológicas que se usan para cuantear los efectos antiandrogénicos son modificaciones de las comúnmente usadas para cuantear el potencial androgénico⁴. En estas pruebas se cuantea la inhibición producida por el compuesto antiandrogénico al crecimiento inducido por el andrógeno natural de próstata y vesícula seminal de ratas castradas. Se puede cuantear también el crecimiento de cresta de pollo, o bien, la feminización de fetos de rata macho. Los resultados de estas pruebas se obtienen pesando los órganos blanco afectados y comparándolos con los de animales testigo.

DISCUSION

El uso del acetato de ciproterona (III, esquema A) como único fármaco antiandrógeno, justifica el ampliar la investigación dentro de este campo para encontrar nuevos compuestos análogos a él, que sean efectivos antiandrógenos y que tengan actividad progestacional mínima.

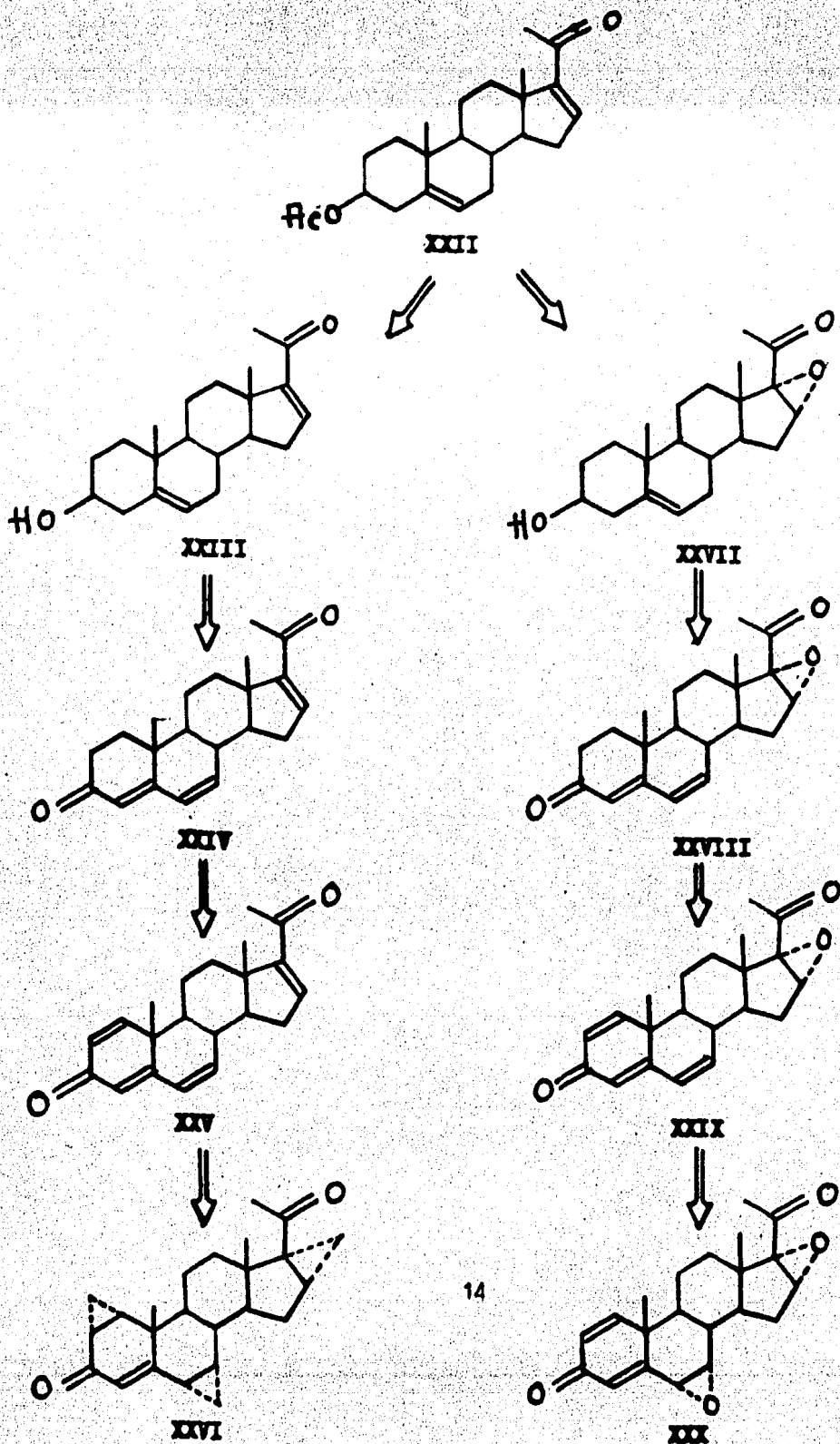
Tomando en cuenta lo anterior se plantearon las síntesis de dos nuevos análogos. Las modificaciones de la progesterona (IV, esquema A) se planearon en base a la relación observada entre la estructura química y la actividad antiandrógenica. Se buscaron modificaciones que hagan a los anillos esteroideos más planos y que tengan las características de polaridad adecuadas.

Anteriormente los estudios de actividad antiandrógenica se han encaminado hacia el efecto de grupos voluminosos en C₁₇, por lo que, en el presente trabajo, se introdujeron sustituyentes pequeños. Puesto que los anillos de tres miembros están sometidos a una gran tensión angular, se espera que su formación sobre el núcleo esterooidal confiera mayor planaridad a la molécula.

La formación de ciclometilenos (ciclopropanos), epóxidos y doble enlace se planteó en base a que estas modificaciones en conjunto, hasta el momento, no han sido estudiadas como antiandrógenos.

En este trabajo se describen las rutas para las síntesis par-

E S Q U E M A B



ciales de $1\alpha,2\alpha; 6\alpha,7\alpha; 16\alpha,17\alpha$ -triciclo metilén-4-pregnén-3,20-diona (XXVI, esquema B) y de $6\alpha,7\alpha; 16\alpha,17\alpha$ -diépoxi-1,4-pregnadien-3,20-diona (XXX). En ambas síntesis se utilizó como materia prima el acetato de 16-dehidropregnénolona (XXII) debido, tanto a su disponibilidad en el mercado nacional como a su costo relativamente bajo.

El primer paso de la ruta sintética (esquema B) para la obtención de $1\alpha,2\alpha; 6\alpha,7\alpha; 16\alpha,17\alpha$ -triciclo metilén-4-pregnén-3,20-diona (XXVI, esquema B) fué la hidrólisis del grupo acetoxi presente en la molécula de XXII. Para efectuar ésta se contemplaron las posibilidades de hidrólisis de ésteres carboxílicos⁹ y, basándose en resultados obtenidos en experimentos anteriores dentro del campo de los esteroides¹⁰, se optó por una hidrólisis alcalina. La hidrólisis se efectuó refluxando la materia prima (XXII) con hidróxido de sodio en metanol-agua. El compuesto deseado (XXIII) se obtuvo con un rendimiento de 97 por ciento. Este derivado (XXIII) presentó en el espectro de UV (espectro 1) la misma absorción que XXII en $\lambda_{máx} = 248 \text{ nm}$ ($\epsilon 2900$) característica de cetonas α,β -insaturadas esteroidales¹¹. En el espectro de IR (espectro 2) se observaron la banda intensa y ancha en 3430 cm^{-1} característica del alargamiento O-H de alcoholés y la intensa y aguda en 1700 cm^{-1} correspondiente al C=O de la enona¹². El espectro protónico de RMN (espectro 3) mostró una señal ancha en 1.60 ppm que desapareció por intercambio con D_2O , razón por la cual, se asignó al pro-

tón del OH¹³.

A continuación el alcohol XXXIII (esquema B) se oxidó a la dieno XXIV y para obtener dicho compuesto, se trató el sistema Δ⁵-3-hidroxi de XXXIII con bromo en presencia de CaCO₃, Li₂CO₃ y LiBr en dimetilformamida a una temperatura constante de 75 °C, de acuerdo a la técnica de bromación oxidativa-dehidrobromación de Dryden y Kalm¹⁴. Mediante esta técnica, la adición de bromo al sistema produce el intermediario 3-oxo-6β-bromo-4-pregnen^{16,18}, el cual es dehidrobromado con CaCO₃, Li₂CO₃ y LiBr¹⁷. Variando el tiempo de reacción se logró obtener un rendimiento de 50 por ciento. Este derivado (XXIV) presentó en el espectro de UV (espectro 4) absorciones en λ_{máx} = 245 nm (ϵ 10200) y λ_{máx} = 286 nm (ϵ 24800) correspondientes a las cetonas α, β y α, β; γ, δ insaturadas¹¹. En el espectro de IR (espectro 5) se observaron en 1670 cm⁻¹ y en 1660 cm⁻¹ las bandas intensas características del C=O de estas cetonas¹². El espectro protónico de RMN (espectro 6) mostró un singulete ancho en 6.08 ppm debido a los protones vinílicos de C₆ y C₇ y otro agudo en 5.63 ppm asignado al protón de C₄¹³.

La etapa siguiente de esta síntesis fue la deshidrogenación - de la cetona XXIV en las posiciones 1,2. Para el caso de cetonas esteroideas se utilizan dióxido de selenio, dióxido de manganeso o quinonas tales como DDQ o cloranilo. Sin embargo, los dos primeros reactivos son poco selectivos, y el cloranilo es un reactivo típico para la conversión de sistemas Δ⁴-3-oxo a Δ^{4,6}-3-oxo¹⁸.

Así pues, se seleccionó el DDQ como agente deshidrogenante debido a que su potencial de reducción es más alto que el del clorani-^{lo}¹⁹. Para obtener la conjugación en C₁-C₂ se efectuó esta deshi-
drogenación selectiva reflujiendo XXIV en dioxano¹⁵. Después de 21
horas de reacción se logró obtener un rendimiento de 76 por cien-
to. El compuesto obtenido (XXV, esquema 3) presentó en el espectro
de UV (espectro 7) absorciones en $\lambda_{\text{máx}} = 251 \text{ nm} (\varepsilon 7100)$ y
 $\lambda_{\text{máx}} = 308 \text{ nm} (\varepsilon 6200)$ debidas a la cetona α , β insaturada y a
la de conjugación cruzada¹¹. En el espectro de IR (espectro 8) se
observaron en 1670 cm^{-1} y en 1615 cm^{-1} las bandas intensas caracte-
rísticas del C=O de estas mismas cetonas¹². El espectro protónico
de RMN (espectro 9) mostró los dos dobletes característicos del
sistema AB producidos por el acoplamiento de los protones vinílicos
de C₁ y C₂; uno en 7.05 ppm con una constante de acoplamiento
 $J_{1,2} \approx 10 \text{ Hz}$ asignado al protón de C₁ (H menos protejido) y el o-
tro dobleteado en 6.25 ppm con $J_{1,2} \approx 10 \text{ Hz}$ y $J_{2,4} \approx 1.5 \text{ Hz}$ corres-
pondiente al protón de C₂ (H más protejido). El doblete centrado -
en 6.06 ppm con $J_{2,4} \approx 1.5 \text{ Hz}$ está dado por el acoplamiento del -
protón de C₄ con el de C₂. El singulete en 6.71 ppm se debe al pro-
tón de C₁₆ y el singulete ancho en 6.00 ppm es característico de -
los protones vinílicos de C₆ y C₇ esteroideales¹³.

La última etapa de esta síntesis fué la formación simultánea
de los anillos de ciclopropano en C₁-C₂, C₆-C₇ y C₁₆-C₁₇. La intro-
ducción del grupo metileno al núcleo esteroideal (para formar el ci-

ciclopropano) se puede hacer por tres métodos diferentes¹⁸. Tratando olefinas con ioduro de metileno y cobre-zinc (Reacción de Simmons y Smith), tratando olefinas con metiluro de dimetilsulfoxonio (Reacción de Corey) y tratando olefinas con diazometano vía la pirólisis ó el tratamiento con ácidos fuertes de la pirazolina correspondiente.

Para obtener el derivado α -ciclometilénico²⁰, por transferencia de un metileno a dobles enlaces, se utilizó la reacción de Corey²¹ debido a que con ésta se obtienen mejores resultados^{8,21}.

De acuerdo con dicha técnica, se genera el metiluro de dimetilsulfoxonio (especie reactiva) por extracción de un protón de un haluro de trimetilsulfoxonio en medio básico. El anión resultante se adiciona a los dobles enlaces conjugados al carbonilo de los sistemas $\Delta^{16}-20$ -oxo, Δ^1-3 -oxo y $\Delta^{1,4,6}-3$ -oxo, dando los correspondientes derivados ciclometilénicos por eliminación de dimetilsulfóxido¹⁸. En nuestro caso la formación de ciclopropanos se hizo sobre el sistema esteroideal $\Delta^{1,4,6,16}-3,20$ -dioxo del compuesto XXV (esquema B).

El metiluro de dimetilsulfoxonio se preparó a partir del ioduro de trimetilsulfoxonio con hidruro de sodio y se hizo reaccionar con el derivado XXV (esquema B). Todo el proceso se realizó bajo condiciones anhidras y en atmósfera de nitrógeno debido a que la especie reactiva (el carbanión) se descompone fácilmente en presencia de humedad²⁰. Después de 20 horas de reacción se logró obtener

un rendimiento de 28 por ciento. Este compuesto (XXVI) presentó en el espectro de UV (espectro 10) absorciones en $\lambda_{\text{máx}} = 228 \text{ nm}$ - (ε 4900) y $\lambda_{\text{máx}} = 268 \text{ nm}$ (ε 12200) debidas a los ciclometilenos (ciclopropanos) conjugados a carbonilos¹¹. En el espectro de IR (espectro 11) se observaron las bandas intensas en 1675 cm^{-1} y en 1640 cm^{-1} correspondientes al alargamiento del C=O de estos grupos. Se vió también en 1595 cm^{-1} la banda del C=C¹². El espectro protónico de RMN (espectro 12) mostró un singulete agudo en 5.78 ppm asignado al protón vinílico de C₄ debido a que el sistema Δ^{1,4,6}-3-oxo no presenta adición de metileno en C₄ en las condiciones utilizadas¹⁸. Las señales producidas por los protones de los metilenos adicionados caen dentro de la región llamada sobre del esteroide de interpretación difícil¹³. El espectro de masas dió el ión molecular en m/e = 350 el cual concuerda con el peso molecular esperado.

El primer paso de la ruta sintética (esquema B) para la obtención de 6α,7α; 16α,17α-diepoxi-1,4-pregnadien-3,10-diona (XXX) fué la epoxidación de la doble ligadura en C₁₆. La epoxidación en el núcleo esteroidal es selectiva, dependiendo del método utilizado, aunque se ve afectada por los grupos funcionales presentes en la molécula. El método más común de epoxidación de olefinas es usando perácidos tales como el perbenzoico, monoperftálico y m-cloroperbenzoico¹⁸. Las dienonas lineales reaccionan con los perácido-

dos preferentemente en el doble enlace γ, δ , mientras que las enonas no son atacadas tan fácilmente por éstos, sino que se epoxidan selectivamente con peróxido de hidrógeno en medio alcalino¹⁸, con rendimientos altos²².

Puesto que en la epoxidación alcalina se hidrolizan simultáneamente los ésteres¹⁸, el compuesto XXII (esquema B) se trató con peróxido de hidrógeno en medio alcalino de acuerdo al procedimiento de Julian²³ para obtener el derivado XXVII con las correspondientes funciones epóxido en C₁₆-C₁₇ e hidroxi en C₃. Se logró obtener un rendimiento de 96 por ciento. El derivado XXVII presentó en el espectro de UV (espectro 13) una absorción en $\lambda_{\text{max}} = 224$ nm ($\epsilon 600$) debida al epóxido conjugado al carbonilo¹¹. En el espectro de IR (espectro 14) se observaron una banda intensa y ancha en 3400 cm⁻¹ característica del alargamiento del O-H de alcoholés, una también intensa en 1695 cm⁻¹ correspondiente al del C=O y otra en 1050 cm⁻¹ debida al del C-O¹². El espectro protónico de HMN (espectro 15) mostró una señal ancha en 2.61 ppm que desapareció por intercambio con D₂O, razón por la cual, se asignó al protón del -OH. El singulete en 3.63 ppm corresponde al protón de C₁₆ (base del epóxido) y el multiplete en 3.43 ppm al protón de C₃ (base del alcohol)¹³.

La oxidación de este compuesto (XXVII, esquema B) para obtener la dienona conjugada XXVIII se hizo siguiendo también la técnica de bromación oxidativa-dehidrobromación utilizada en la síntesis

sis anterior¹⁴ al obtener el derivado XXIV. Variando el tiempo de reacción se logró un rendimiento de 48 por ciento. El derivado - XXVIII presentó en el espectro de UV (espectro 16) absorciones en $\lambda_{\text{máx}} = 220 \text{ nm} (\epsilon 2300)$ y $\lambda_{\text{máx}} = 285 \text{ nm} (\epsilon 18600)$ correspondientes al mismo cromóforo de XXVII y a la dienona conjugada¹¹. En el espectro de IR (espectro 17) se observaron una banda intensa en 1705 cm^{-1} debida al alargamiento C=O del epóxido conjugado a éste y otra también intensa en 1670 cm^{-1} correspondiente al C=O de la dienona conjugada. Se observaron también las bandas en 1615 cm^{-1} y en 880 cm^{-1} dadas por el C=C y por el C-O respectivamente¹². El espectro protónico de RMN (espectro 18) mostró un multiplete en 6.06 ppm correspondiente a los protones vinílicos de C₆ y C₇, un singulete en 5.66 ppm asignado al protón de C₄ y otro en 3.73 ppm dado por el de C₁₆ (base del epóxido)¹³.

Para la deshidrogenación de XXVIII (esquema B) se siguió también la técnica utilizada en la síntesis anterior¹⁵ al obtener el compuesto XXV. Después de 22 horas de reacción se logró obtener un rendimiento de 56 por ciento. El derivado XXIX presentó en el espectro de UV (espectro 19) absorciones en $\lambda_{\text{máx}} = 228 \text{ nm} (\epsilon 9300)$, $\lambda_{\text{máx}} = 260 \text{ nm} (\epsilon 8600)$ y $\lambda_{\text{máx}} = 301 \text{ nm} (\epsilon 10700)$ debidas al epóxido conjugado al carbonilo y a la trienona de conjugación cruzada¹². En el espectro de IR (espectro 20) se observaron las bandas intensas en 1700 cm^{-1} y en 1660 cm^{-1} correspondientes al alargamiento C=O de estas mismas cetonas, una también intensa -

en 1610 cm^{-1} debida a los C=C y otra en 900 cm^{-1} asignada al alargamiento C=O del epóxido¹². El compuesto XXIX mostró un espectro - protónico de RMN (espectro 21) semejante al producido por XXV, que difiere básicamente en la señal del protón de C₁₆ (base del epóxido) la cual aparece en 3.70 ppm¹³.

La última etapa de esta síntesis fué la epoxidación selectiva del doble enlace en C₆. El derivado XXIX (esquema B) se reflujo en presencia de ácido m-cloroperbenzoico en dioxano^{14b}. Después de 3 horas de reacción se logró obtener un rendimiento de 50 por ciento. El producto XXX presentó en el espectro de UV (espectro 22) una absorción en $\lambda_{\text{máx}} = 250 \text{ nm}$ ($E = 14100$) debida al epóxido conjugado al carbonilo y a la dienona de conjugación cruzada y conjugada al epóxido¹¹. En el espectro de IR (espectro 23) se observaron las bandas intensas en 1700 cm^{-1} y en 1660 cm^{-1} correspondientes - al alargamiento C=O de estas cetonas, una también intensa en 1625 cm^{-1} debida al C=C y otra en 900 cm^{-1} asignada al C=O de los epóxidos¹². El espectro protónico de H-N (espectro 24) resultó semejante al obtenido para los compuestos XXV y XXIX en lo concerniente al sistema AB. El singulete en 3.68 ppm, el doblete en 3.53 ppm y el multiplete en 3.21 se asignaron a los protones de C₁₆, C₆ y - C₇ (bases de los epóxidos) respectivamente¹³.

PARTE EXPERIMENTAL

N O T A S °

Los puntos de fusión se determinaron en un aparato BUCHI S.M.P.-20 a una velocidad de 0.2 °C/min y no están corregidos.

Las rotaciones específicas $[\alpha]_D^{20}$ se determinaron en un polarímetro digital PERKIN-ELMER 241, usando metanol como disolvente.

Los espectros de ultravioleta (UV) se corrieron en un espectrofotómetro ultravioleta-visible PERKIN-ELMER 202 automático de doble haz, utilizando metanol como disolvente.

Los espectros de infrarrojo (IR) se corrieron en un espectrofotómetro de infrarrojo PERKIN-ELMER 337, en pastillas de bromuro de potasio.

Los espectros de resonancia magnética nuclear protónica (R.M.N.) se determinaron en un espectrómetro VARIAN-EM 390, usando deutocloroformo como disolvente y tetrametilsilano como referencia interna.

Los espectros de masas (M) se determinaron en un espectrómetro de masas DUPONT 21-490B de simple foco, usando el me

todo de introducción directa de la muestra y un impacto electrónico de 70 eV.

La cromatografía en capa fina se efectuó utilizando gel de sílice MERCK GF 254.

La cromatografía en columna se hizo utilizando alúmina neutra MERCK.

SINTESIS DE 3β -HIDROXI-5,16-PREGNADIEN-20-ONA (XXIII).

A una solución de acetato de 16-dehidropregnolona (XXII) - (2 g, 5.61 mmoles) en metanol (150 ml) se adicionó una solución de hidróxido de sodio (2 g) en agua (100 ml). Esta mezcla se calentó a reflujo y con agitación durante 3 horas. Posteriormente, se dejó enfriar a temperatura ambiente y se extrajo con acetato de etilo - destilado. La fase orgánica se lavó con agua, se secó sobre sulfato de sodio anhídrico y se filtró. El disolvente se eliminó por destilación en rotavapor hasta un volumen mínimo. El precipitado obtenido se cristalizó en acetato de etilo-éter isopropílico. Se obtuvieron 1.7122 g de 3β -hidroxi-5,16-pregnadien-20-ona (XXIII) equivalentes al 97 por ciento de rendimiento.

Características.

Cristales amarillos. $\text{pf} = 156-157^\circ\text{C}$. $[\alpha]_D^{20} = -22.5$. UV: - $\lambda_{\text{max}} = 248 \text{ nm } (\varepsilon 2900)$. IR: $3430 \text{ cm}^{-1} (\nu \text{ OH})$, $2930-2850 \text{ cm}^{-1} - (\nu \text{ -CH}_3, \text{ -CH}_2-)$, $1700 \text{ cm}^{-1} (\nu \text{ C=O})$, $1660 \text{ cm}^{-1} (\nu \text{ C=C})$, $1460 - \text{cm}^{-1} (\delta \text{ -CH}_2-)$, $1370 \text{ cm}^{-1} (\delta \text{ -CH}_3)$, $1235 \text{ cm}^{-1} (\delta \text{ -CO-})$. RMN: - 6.65 ppm ($m, 1\text{H}, \text{C}_{16}$), 5.31 ppm ($m, 1\text{H}, \text{C}_6$), 3.15 ppm ($s, 1\text{H}, \text{C}_3$), 2.20 ppm ($s, 3\text{H}, \text{C}_{21}$), 1.6 ppm ($s, 1\text{H}, \text{OH}$), 1.01 ppm ($s, 3\text{H}, \text{C}_{19}$), 0.96 ppm - ($s, 3\text{H}, \text{C}_{18}$).

SINTESIS DE 4,6,16-PREGNATRIEN-3,20-DIONA (XXIV).

A una suspensión de bromuro de litio (2.856 g, 32.88 mmoles), carbonato de calcio (3.417 g, 34.13 mmoles) y carbonato de litio - (3.417 g, 46.24 mmoles) en dimetilformamida (3.15 ml RA) se adicionó 3β -hidroxi-5,16-pregnadien-20-ona (XXII) (1.70 g, 5.40 mmoles). Esta mezcla se calentó a 75 °C con agitación y se le adicionó, gota a gota durante 60 minutos, una solución de bromo (0.51 ml) en dioxano (19.4 ml RA). Se dejó reaccionar durante 2 horas más a temperatura constante de 75 °C. Posteriormente se dejó enfriar a temperatura ambiente y se filtraron las sales inorgánicas. Se extrajo con acetato de etilo destilado. La fase orgánica se lavó con agua, se secó sobre sulfato de sodio anhídrico y se filtró. El disolvente se eliminó por destilación en rotavapor. El precipitado resultante (compuesto XXIV) se purificó por cromatografía en capa fina (fase estacionaria: gel de sílice; fase móvil: hexano/acetato de etilo - 6/4; disolvente: cloroformo y extractantes: acetato de etilo). El compuesto obtenido se cristalizó en acetato de etilo-éster isopropílico. Se obtuvieron 0.8500 g de 4,6,16-pregnatrien-3,20-diona (XXIV) equivalentes al 50 por ciento de rendimiento.

Características.

Cristales blancos. pf = 232-234 °C. $[\alpha]_D^{20} = +100$. UV: λ_{max} = 245 nm (ε 10200), λ_{max} = 286 nm (ε 24800). IR: 2960-2850 -

cm^{-1} (ν - CH_3 , - CH_2-), 1670 cm^{-1} (ν C=O, C₂₀), 1660 cm^{-1} (ν C=O, C₃), 1615 cm^{-1} (ν C=C), 1450 cm^{-1} (δ - CH_2-), 1370 cm^{-1} (δ - CH_3). RMN: 6.68 ppm (m, 1H, C₁₆), 6.08 ppm (s, 2H, C₆ y C₇), 5.63 ppm (s, 1H, C₄), 2.32 ppm (s, 3H, C₂₁), 1.10 ppm (s, 3H, C₁₉), 0.93 ppm (s, 3H, -C₁₈).

SINTESIS DE 1,4,6,16-PREGNATETREN-3,20-DIONA (XXV).

A una solución de 2,3-dicloro-5,6-diciano-1,4-benzoquinona - (DDQ) (0.85 g, 3.74 mmoles) en dioxano anhidro (85 ml) se adicionó 4,6,16-pregnatrien-3,20-diona (XXIV) (0.84 g, 2.70 mmoles). Esta mezcla se calentó a reflujo durante 19 horas al cabo de las cuales se adicionó un ligero exceso de DDQ (10 por ciento del inicial) y se reflujo por 2 horas más. posteriormente se dejó enfriar a temperatura ambiente, se filtró la 2,3-dicloro-5,6-diciano-hidroquinona y el dioxano se eliminó por destilación en rotavapor. El residuo obtenido (compuesto XXV) se purificó por cromatografía en columna (fase estacionaria: alúmina neutra; fase móvil: acetato de etilo y disolvente: cloroformo). El precipitado resultante se cristalizó en acetato de etilo-éster isopropílico. Se obtuvieron 0,6385 g de 1,4,6,16-pregnatetren-3,20-diona (XXV) equivalentes al 76 por ciento de rendimiento.

Características.

Cristales blancos. pf = 224-225 °C. $[\alpha]_D^{20} = +93$. UV: λ_{max} = 251 nm (ϵ 7100), $\lambda_{\text{max}} = 308$ nm (ϵ 6200). IR: 2970-2880 cm^{-1} (ν -CH₃, -CH₂-), 1670 cm^{-1} (ν C=O, C₂₀), 1615 cm^{-1} (ν C=O, C₃), 1600 cm^{-1} (ν C=C), 1470 cm^{-1} (δ -CH₂-), 1380 cm^{-1} (δ -CH₃). RMN: 7.05 ppm (d, J_{1,2} ≈ 10 Hz, 1H, C₁), 6.71 ppm (m, 1H, C₁₆), 6.25 ppm (dd, J_{1,2} ≈ 10 Hz, J_{2,4} ≈ 1.5 Hz, 1H, C₂), 6.06 ppm (d, J_{2,4} =

1.5 Hz, 1H, C₄), 6.00 ppm (s, 2H, C₆ y C₇), 2.25 ppm (s, 3H, C₂₁), 1.21 ppm (s, 3H, C₁₉), 1.01 ppm (s, 3H, C₁₈).

SINTESIS DE $1\alpha,2\alpha; 6\alpha,7\alpha; 16\alpha,17\alpha$ -TRICICLOMETILEN-4-PREGNEN-3,20-DIONA (XXVI).

Al hidruro de sodio (1.72 g, 35.93 mmoles) contenido bajo atmósfera de nitrógeno (en sistema cerrado) y lavado previamente con hexano anhídrico varias veces, se adicionó (por inyección) una solución de ioduro de trimetilsulfoxonio (13.885 g, 62.96 mmoles) en dimetilsulfóxido recién destilado y anhídrico (40 ml). El sistema se purgó con nitrógeno. La mezcla se agitó vigorosamente durante 2 horas (hasta que cesó el desprendimiento de hidrógeno) y se inyectó la solución de 1,4,6,16-pregnatetren-3,20-diona (XXV) (0.30 g, 0.97 mmoles) en dimetilsulfóxido (20 ml). El sistema se purgó nuevamente con nitrógeno. La mezcla se dejó reaccionar a temperatura ambiente durante 20 horas al cabo de las cuales se le adicionó, poco a poco, agua para eliminar el hidruro de sodio que no reaccionó. El agua y el dimetilsulfóxido se destilaron a presión reducida y al residuo obtenido se adicionó agua y se extrajo con éter etílico. La fase orgánica se lavó con agua, se secó sobre sulfato de sodio anhídrico y se filtró. El compuesto resultante (XXVI) se purificó por cromatografía en capa fina (fase estacionaria: gel de sílice; fase móvil: hexano/acetato de etilo 8/2; disolvente: cloroformo y extractante: acetato de etilo). El precipitado resultante se cristalizó en acetato de etilo-éster isopropílico. Se obtuvieron 0.096 g de $1\alpha,2\alpha; 6\alpha,7\alpha; 16\alpha,17\alpha$ -triciclometilén-4-pregnen-

3,20-diona (XXVI) equivalentes al 28 por ciento de rendimiento.

Características:

Cristales blancos brillantes. pf = 241 °C. $[\alpha]_D^{20} = +137.8$.
UV: $\lambda_{\text{máx}} = 228 \text{ nm } (\varepsilon 4900)$, $\lambda_{\text{máx}} = 268 \text{ nm } (\varepsilon 12200)$. IR: -
 $3000-2830 \text{ cm}^{-1}$ ($\nu -\text{CH}_3$, $-\text{CH}_2-$), 1675 cm^{-1} ($\nu \text{ C=O}$, C_{20}), 1640 cm^{-1} ($\nu \text{ C=O}$, C_3), 1595 cm^{-1} ($\nu \text{ C=C}$), 1450 cm^{-1} ($\delta -\text{CH}_2-$), 1360 cm^{-1} ($\delta -\text{CH}_3$). RNM: 5.78 ppm (m , 1H, C_4), 1.90 ppm (s , 3H, C_{21}), 1.23 ppm (s , 3H, C_{19}), 1.06 ppm (s , 3H, C_{18}). N: m/e = 350.

SINTESIS DE $16\alpha,17\alpha$ -EPOXI- 3β -HIDROXI-5-PREGNEN-20-ONA (XXVII).

A una solución de acetato de 16-dehidropregnolona (XXII) - (3 g, 8.41 mmoles) en metanol (200 ml) enfriada previamente a 5 °C se adicionaron una solución de hidróxido de sodio (1.2 g) en agua (6 ml) e inmediatamente después, una solución de peróxido de hidrógeno al 30 % (12 ml). Esta mezcla se dejó a temperatura ambiente y con agitación durante 23 horas. Posteriormente se dejó enfriar y se extrajo con cloroformo destilado. La fase orgánica se lavó con agua, se secó sobre sulfato de sodio anhídrico y se filtró. El disolvente se eliminó por destilación en rotavapor hasta un volumen mínimo. El producto resultante se cristalizó en acetato de etilo-éster isopropílico. Se obtuvieron 2.646 g de $16\alpha,17\alpha$ -epoxi- 3β -hidroxi-5-pregnén-20-ona (XXVII) equivalentes al 92 por ciento de rendimiento.

Características.

Cristales blancos. $\text{pf} = 176-178$ °C. $[\alpha]_D^{20} = 0$. UV: $\lambda_{\text{max}} = 224$ nm (ϵ 600). IR: 3400 cm^{-1} ($\nu \text{ OH}$), $2960-2850 \text{ cm}^{-1}$ ($\nu \text{ -CH}_3$, $-\text{CH}_2-$), 1695 cm^{-1} ($\nu \text{ C=O}$), 1630 cm^{-1} ($\nu \text{ C=C}$), 1435 cm^{-1} (δ $-\text{CH}_2-$), 1375 cm^{-1} (δ $-\text{CH}_3$), 1050 cm^{-1} ($\nu \text{ C-O}$). RMN: 5.28 ppm (d, 1H, C_6), 3.63 ppm (s, 1H, C_{16}), 3.43 ppm (m, 1H, C_3), 2.61 ppm (s, 1H, -OH), 2.00 ppm (s, 3H, C_{21}), 1.01 ppm (s, 3H, C_{19}), 0.99 ppm (s, 3H, C_{18}).

SINTESIS DE 16 α ,17 α -EPOXI-4,6-PREGNADIE-N-
3,20-DIONA (XXVIII).

A una suspensión de bromuro de litio (4.20 g, 48.36 mmoles), carbonato de calcio (5.02 g, 50.20 mmoles) y carbonato de litio - (5.02 g, 68.01 mmoles) en dimetilformamida (46.4 ml RA) se adicionó 16 α ,17 α -epoxi-3 β -hidroxi-5-pregnén-20-ona (XXVII) (2.50 g, - 7.56 mmoles). La mezcla se calentó a 75 °C con agitación y se le añadió, gota a gota durante 60 minutos, una solución de bromo - (0.75 ml) en dioxano (28.5 ml). Se dejó reaccionar durante 2 horas más a temperatura constante de 75 °C. Posteriormente se dejó enfriar a temperatura ambiente y se filtraron las sales inorgánicas. Se extrajo con acetato de etilo destilado. La fase orgánica se lavó con agua, se secó sobre sulfato de sodio anhídrico y se filtró. El disolvente se eliminó por destilación en rotavapor. El residuo obtenido se purificó por cromatografía en capa fina (fase estacionaria: gel de sílice; fase móvil: hexano/acetato de etilo 6/4; disolvente: cloroformo y extractante: acetato de etilo). El compuesto resultante se cristalizó en acetato de etilo-éter isopropílico. Se obtuvieron 1.187 g de 16 α ,17 α -epoxi-4,6-pregnadien-3,20-diona (XXVIII) equivalentes al 48 por ciento de rendimiento.

Características.

Cristales blancos. pf = 198-200 °C. $[\alpha]_D^{20} = +94.6$. UV:

$\lambda_{\text{max}} = 220 \text{ nm} (\varepsilon 2300)$, $\lambda_{\text{max}} = 285 \text{ nm} (\varepsilon 18600)$. IR: 3100-
 2830 cm^{-1} (ω -CH₃, -CH₂-), 1705 cm⁻¹ (ω C=O, C₂₀), 1670 cm⁻¹ -
(ω C=O, C₃), 1615 cm⁻¹ (ω C=C), 1440 cm⁻¹ (σ -CH₂-), 1375 cm⁻¹
(σ -CH₃-), 1250 cm⁻¹ (σ C=O), 880 cm⁻¹ (ω C=O). RMN: 6.06 ppm
(s, 2H, C₆ y C₇), 5.66 ppm (s, 1H, C₄), 3.73 ppm (s, 1H, C₁₆), 2.51 ppm
(s, 2H, C₁₅), 2.05 ppm (s, 3H, C₂₁), 1.13 ppm (s, 6H, C₁₉ y C₁₈).

SINTESIS DE $16\alpha,17\alpha$ -EPOXI-1,4,6-PREGNATRIEN-
3,20-DIONA (XXIX).

A una solución de 2,3-dicloro-5,6-diciano-1,4-benzoquinona - (DDQ) (1.10 g, 4.84 mmoles) en dioxano anhidro (100 ml) se adicionó $16\alpha,17\alpha$ -epoxi-4,6-pregnadien-3,20-diona (XXVIII) (1 g, 3.06 mmoles). La mezcla se calentó a reflujo durante 19 horas al cabo de las cuales se adicionó un ligero exceso de DLQ (10 por ciento del inicial) y se reflujo durante 2 horas más. Posteriormente se dejó enfriar a temperatura ambiente, se filtró la 2,3-dicloro-5,6-diciano-hidroquinona y el dioxano se eliminó por destilación en ro tavapor. El residuo obtenido (compuesto XXIX) se purificó por chromatografía en columna (fase estacionaria: alúmina neutra; fase móvil: acetato de etilo y disolvente: cloroformo). El precipitado resultante se cristalizó en acetato de etilo-éter isopropílico. Se obtuvieron 0.5644 g de $16\alpha,17\alpha$ -epoxi-1,4,6-pregnatrien-3,20-diona (XXIX) equivalentes al 56 por ciento de rendimiento.

Características.

Cristales blancos. pf = 184-186 °C. $[\alpha]_D^{20} = +65$. UV: $\lambda_{\text{máx}} = 228 \text{ nm}$ ($\epsilon 9300$), $\lambda_{\text{máx}} = 260 \text{ nm}$ ($\epsilon 8600$), $\lambda_{\text{máx}} = 301 \text{ nm}$ - ($\epsilon 10700$). IR: $3060-2870 \text{ cm}^{-1}$ ($\nu -\text{CH}_3, -\text{CH}_2-$), 1700 cm^{-1} ($\nu \text{ C=O}$ C_2O), 1660 cm^{-1} ($\nu \text{ C=O, C}_3$), 1610 cm^{-1} ($\nu \text{ C=C}$), 1470 cm^{-1} ($\delta -\text{CH}_2-$), 1385 cm^{-1} ($\delta -\text{CH}_3$), 1300 cm^{-1} ($\delta \text{ C-C}$), 900 cm^{-1} ($\nu \text{ C-O}$). RMN: 7.01 ppm (d, $J_{1,2} \approx 10 \text{ Hz, } ^1\text{H, C}_1$), 6.21 ppm (dd, $J_{1,2} \approx 10 \text{ Hz,$

$J_{2,4} \approx 1.5$ Hz, ${}^1\text{H}, \text{C}_2$), 5.96 ppm (s, ${}^2\text{H}, \text{C}_6$ y C_7), 5.83 ppm (d, $J_{2,4} = 1.5$ Hz, ${}^1\text{H}, \text{C}_4$), 3.70 ppm (s, ${}^1\text{H}, \text{C}_{16}$), 2.03 ppm (s, ${}^3\text{H}, \text{C}_{21}$), 1.20 ppm (s, ${}^3\text{H}, \text{C}_{19}$), 1.15 ppm (s, ${}^3\text{H}, \text{C}_{18}$).

SINTESIS DE $6\alpha,7\alpha; 16\alpha,17\alpha$ -DIEPOXI-1,4-PREGNADIEN-3,20-DIONA (XXX).

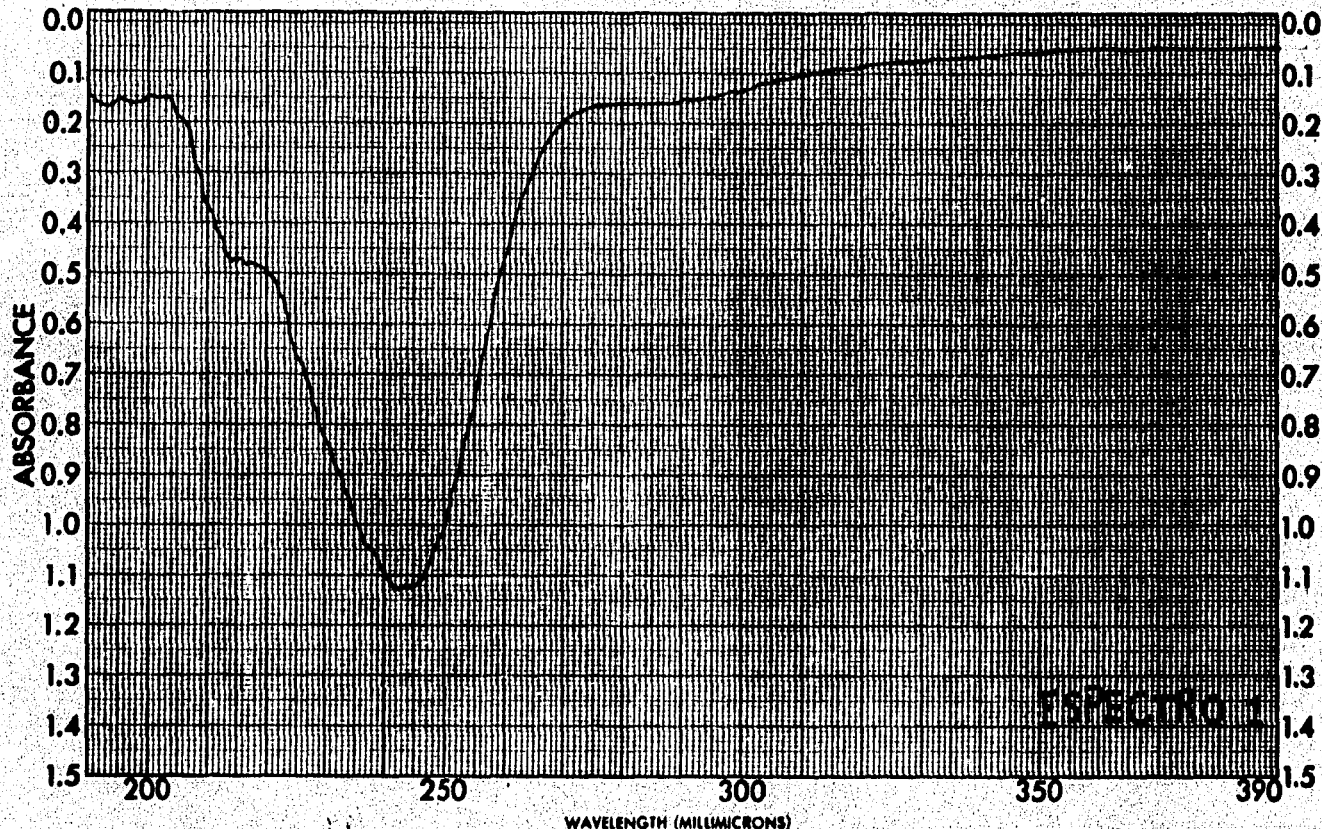
A una solución de $16\alpha,17\alpha$ -epoxi-1,4,6-pregnatrien-3,20-diona (XXIX) (0.50 g, 1.54 mmoles) en benceno anhidro y a reflujo, se adicionó poco a poco durante 30 minutos, una solución de ácido m-cloroperbenzoico (0.70 g, 4.05 mmoles) en benceno anhidro (7 ml) y se dejó refluxar por 3 horas más. Posteriormente se dejó enfriar a temperatura ambiente. Esta mezcla se diluyó con acetato de etilo y se lavó primero con solución acuosa de hidróxido de sodio al 5% (p/v) y después con agua, repitiendo ambas operaciones varias veces. La fase orgánica se secó sobre sulfato de sodio anhidro y se filtró. El residuo obtenido (compuesto XXX) se purificó por cromatografía en capa fina (fase estacionaria: gel de sílice; fase móvil: hexano/acetato de etilo 8/2; disolvente: cloroformo y extractante: acetato de etilo). El precipitado resultante se cristalizó en acetato de etilo-éster isopropílico. Se obtuvieron 0.265 g de $6\alpha,7\alpha; 16\alpha,17\alpha$ -diepoxi-1,4-pregnadien-3,20-diona (XXX) equivalentes al 50 por ciento de rendimiento.

Cristales blancos. pf = 252-253 °C. $[\alpha]_D^{20}$ 0. UV: $\lambda_{max} = 250$ nm (ϵ 14100). IR: $3020-2870 \text{ cm}^{-1}$ (ω -CH₃, -CH₂-), 1700 cm^{-1} (ω C=O, C₂₀), 1660 cm^{-1} (ν C=O, C₃), 1625 cm^{-1} (ν C=C), 1445 cm^{-1} (σ' -CH₂-), 1375 cm^{-1} (σ' -CH₃), 900 cm^{-1} (ω C-O). RMN:

6.91 ppm (d, $J_{1,2} \approx 10$ Hz, 1H, C₁), 6.40 ppm (d, $J_{2,4} \approx 1.5$ Hz, 1H, C₄), 6.15 ppm (dd, $J_{1,2} \approx 10$ Hz, $J_{2,4} \approx 1.5$ Hz, 1H, C₂), 3.68 ppm (s, 1H, C₁₆), 3.53 ppm (d, 1H, C₆), 3.21 ppm (m, 1H, C₇), 2.00 ppm (s, 3H, C₂₁), 1.16 ppm (s, 3H, C₁₉), 1.10 ppm (s, 3H, C₁₈). M: m/e = 340.

ESPECTROS

UV

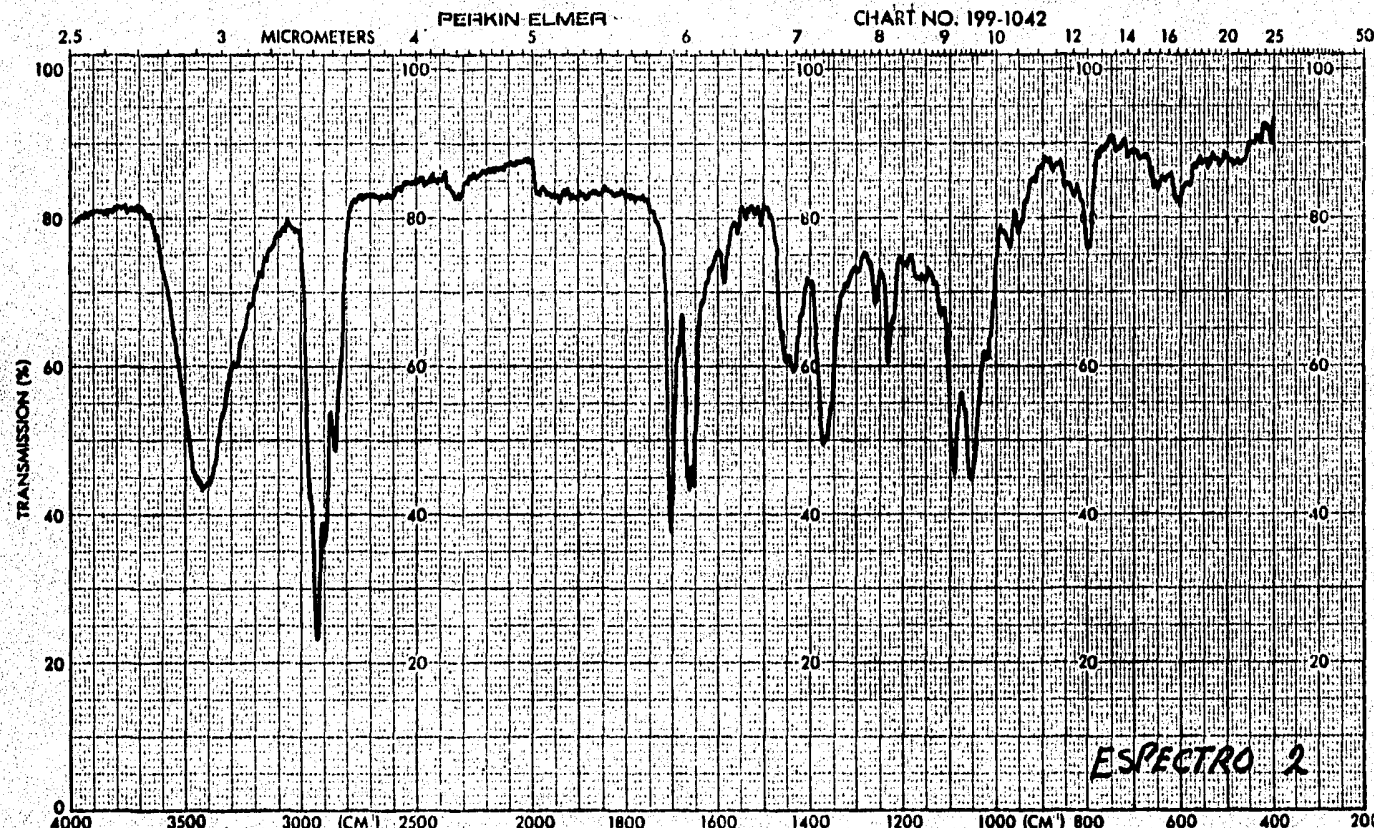


SPECTRUM 1

SAMPLE	1-1	CURVE NO.	1	SCAN SPEED	11	OPERATOR	C.L.B.
ORIGIN		CONC.		SLIT		DATE	11/11/73
SOLVENT		CELL PATH				REMARKS	
		REFERENCE					

PART NO. 202-1511 REV C

PERKIN-ELMER

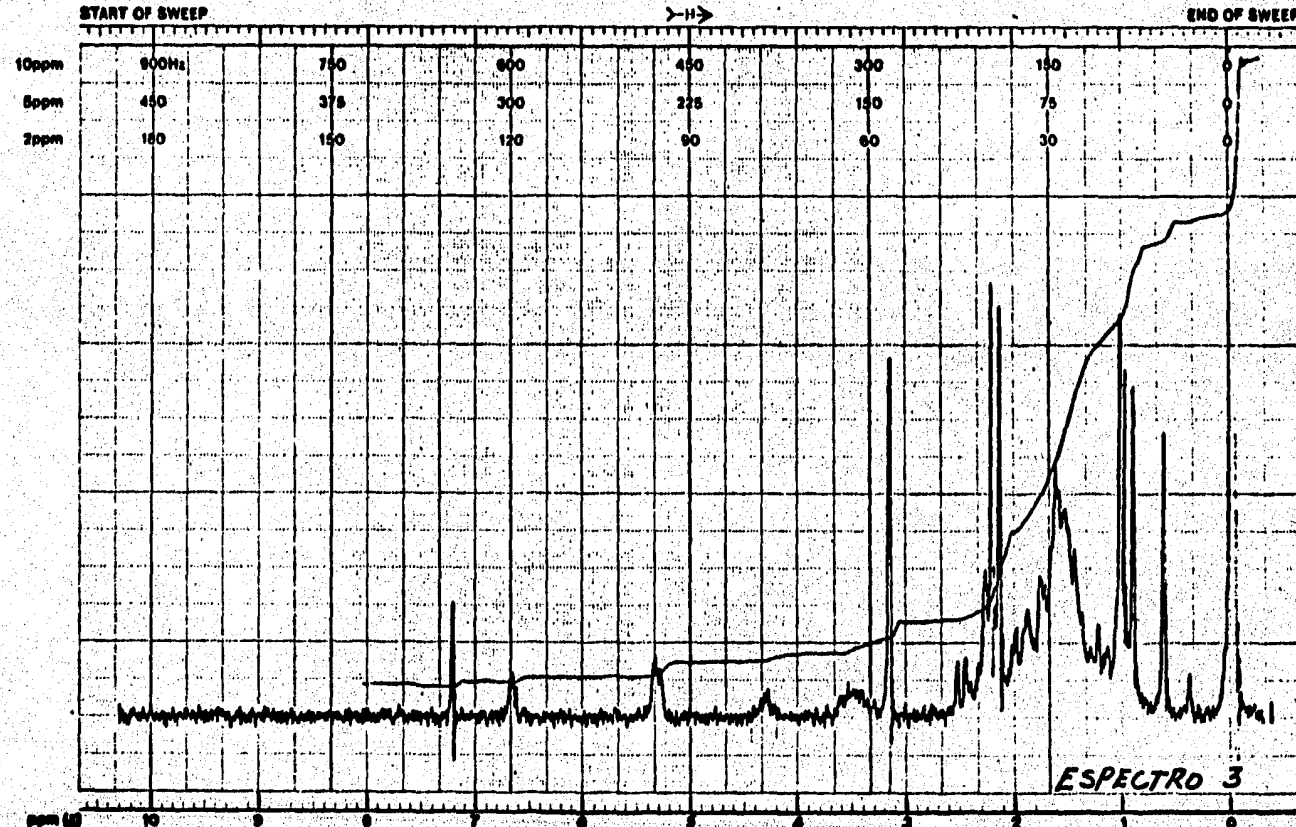


ABSCISSA EXPANSION	ORDINATE EXPANSION	SCAN TIME	REP. SCAN TIME	SINGLE BEAM
SAMPLE ORIGIN	% I.	MULTIPLIER	TIME DRIVE	DATE
REMARKS		SOLVENT CONCENTRATION	OPERATOR	
				CELL PATH REFERENCE

SAMPLE

REF. NO.

Varian Instrument division
palo alto, California



LOCK POS. _____ ppm SPECTRUM AMPL. 1.000' SWEEP TIME 6 min NUCLEUS ^1H

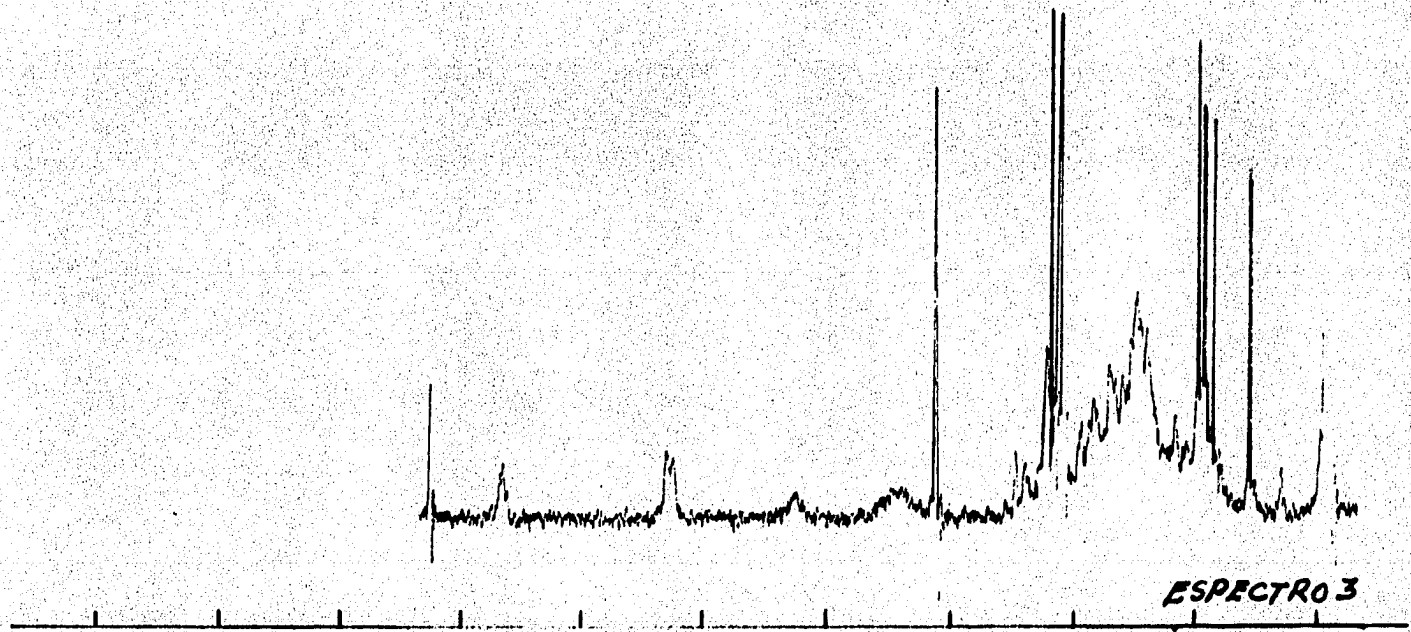
LOCK POWER _____ mW FILTER 0.05 sec SWEEP WIDTH 10 ppm ZERO REF. TMS

DECOUPLE POS. _____ ppm RF POWER 0.1 mW END OF SWEEP 0 ppm SAMPLE TEMP. 20°C

DECOPUPLING POWER _____ mW SOLVENT: CDCl_3 SPECTRUM NO. 3433

SAMPLE: 7-hydroxy-1,2-dihydro-1,4-dihydro-5H-cyclohepta[b]naphthalene

DATE: 11-5-81

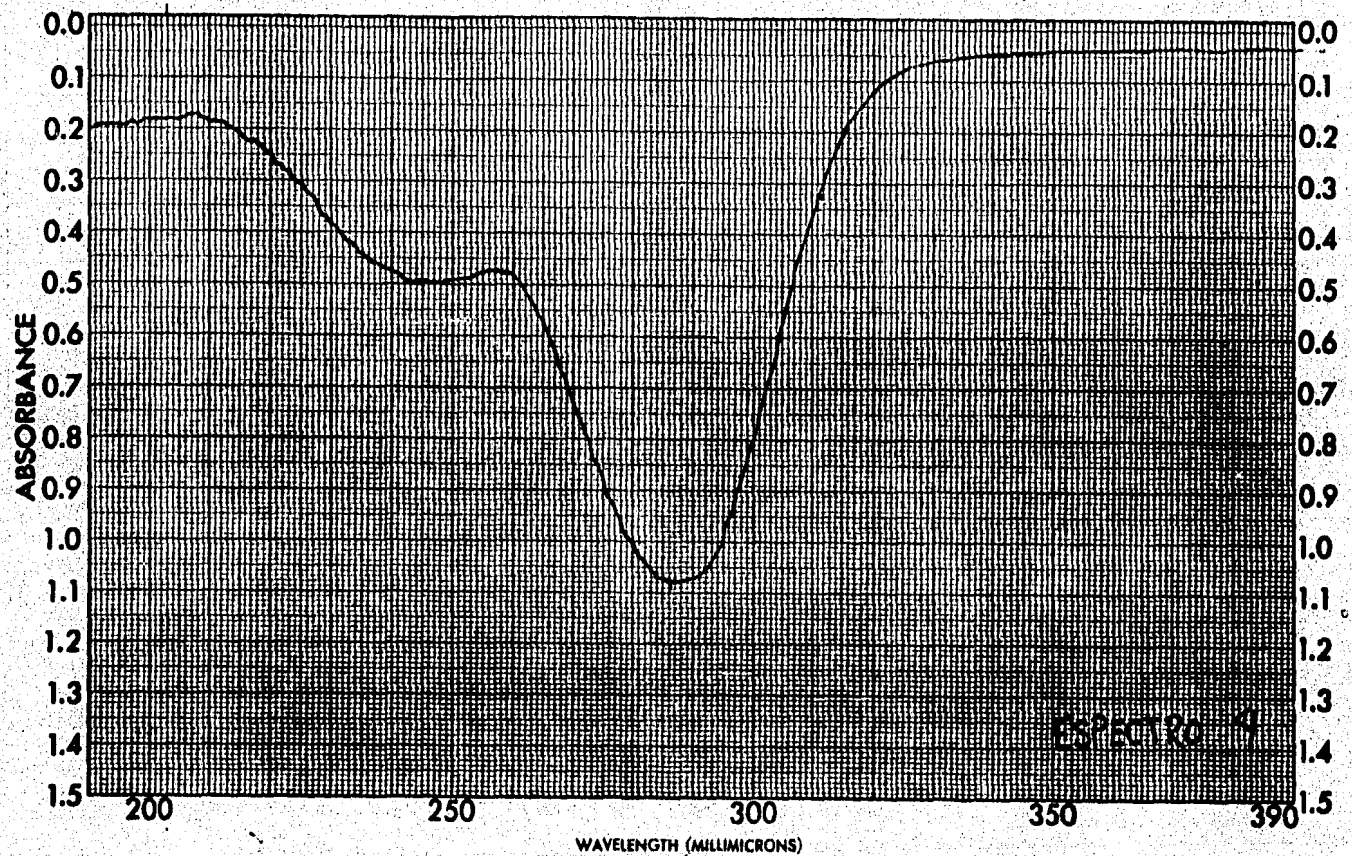


ESPECTRO 3

lunes 20
17-5-84
1700
1300
1100
900
700

17-5-84

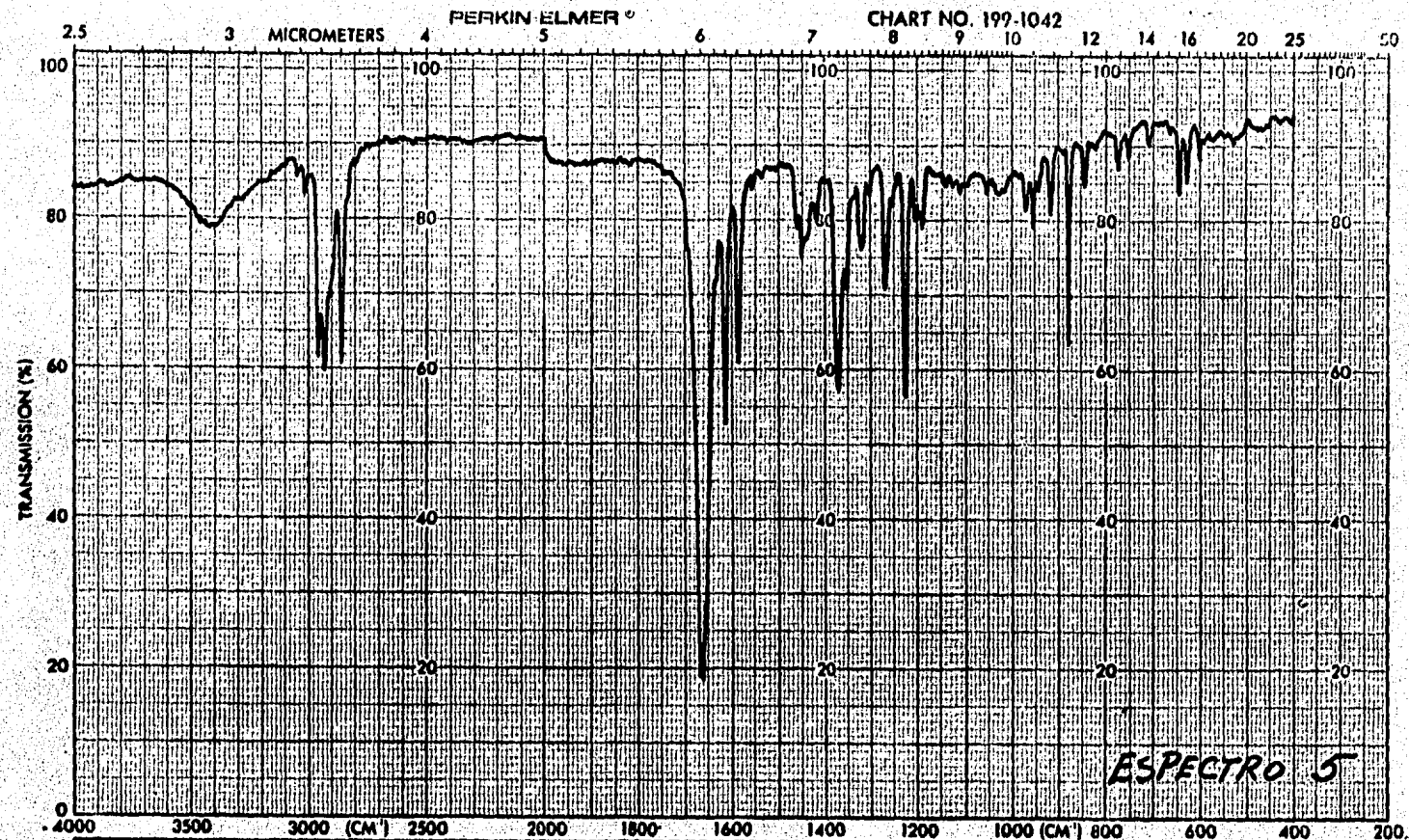
1992



SAMPLE	CURVE NO.	SCAN SPEED	OPERATOR
ORIGIN	CONC.	SLIT	DATE
SOLVENT	CELL PATH	REMARKS	
	REFERENCE		

PART NO. 202-1511 Rev. B

PERKIN-ELMER



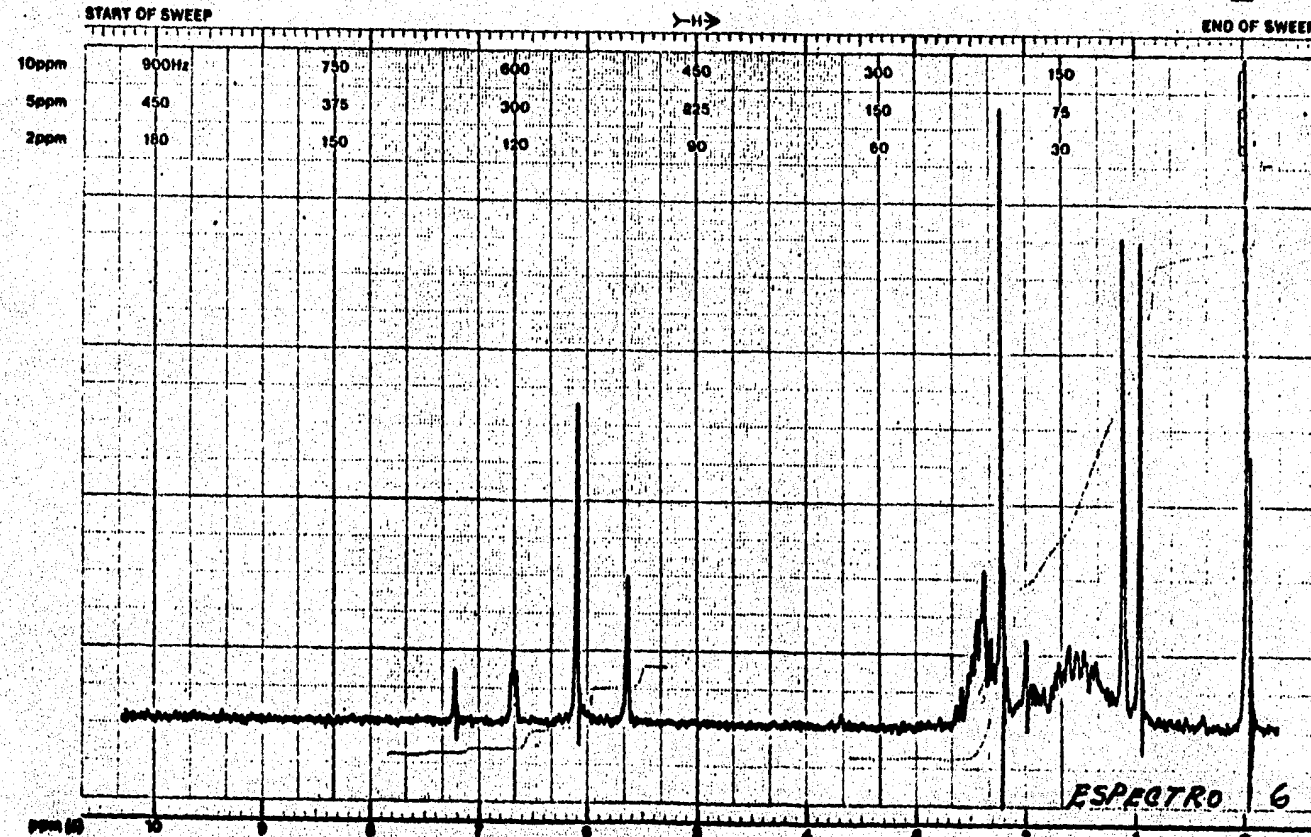
EM-390 90 MHz NMR SPECTROMETER

PRINT NO. 2000-24

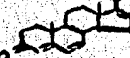


varian instrument division

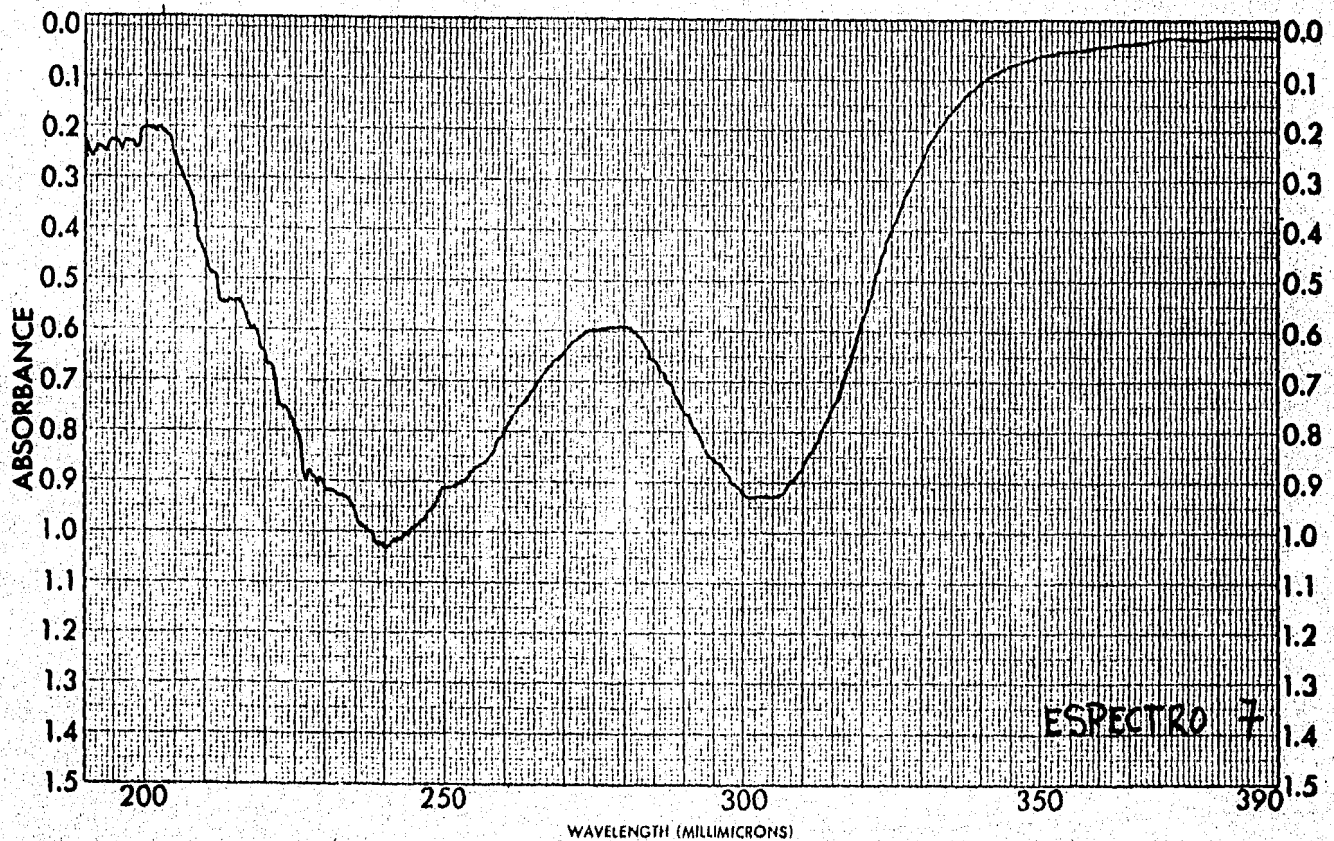
palo alto, california



LOCK POS. 0 ppm SPECTRUM AMPL. 2.4.15. SWEEP TIME 5 min. NUCLEUS ^1H SAMPLE: 7...1...2. OPERATOR α
 LOCK POWER mW FILTER 2.1 sec. SWEEP WIDTH 10 ppm ZERO REF. 1.1
 DECOUPLE POS. 0 ppm RF POWER 0.5 mW END OF SWEEP 1 ppm SAMPLE TEMP. 1 °C
 DECOUPLING POWER mW RF POWER 0.5 mW END OF SWEEP 1 ppm SAMPLE TEMP. 1 °C SOLVENT: CDCl₃ SPECTRUM NO. 1693



UV

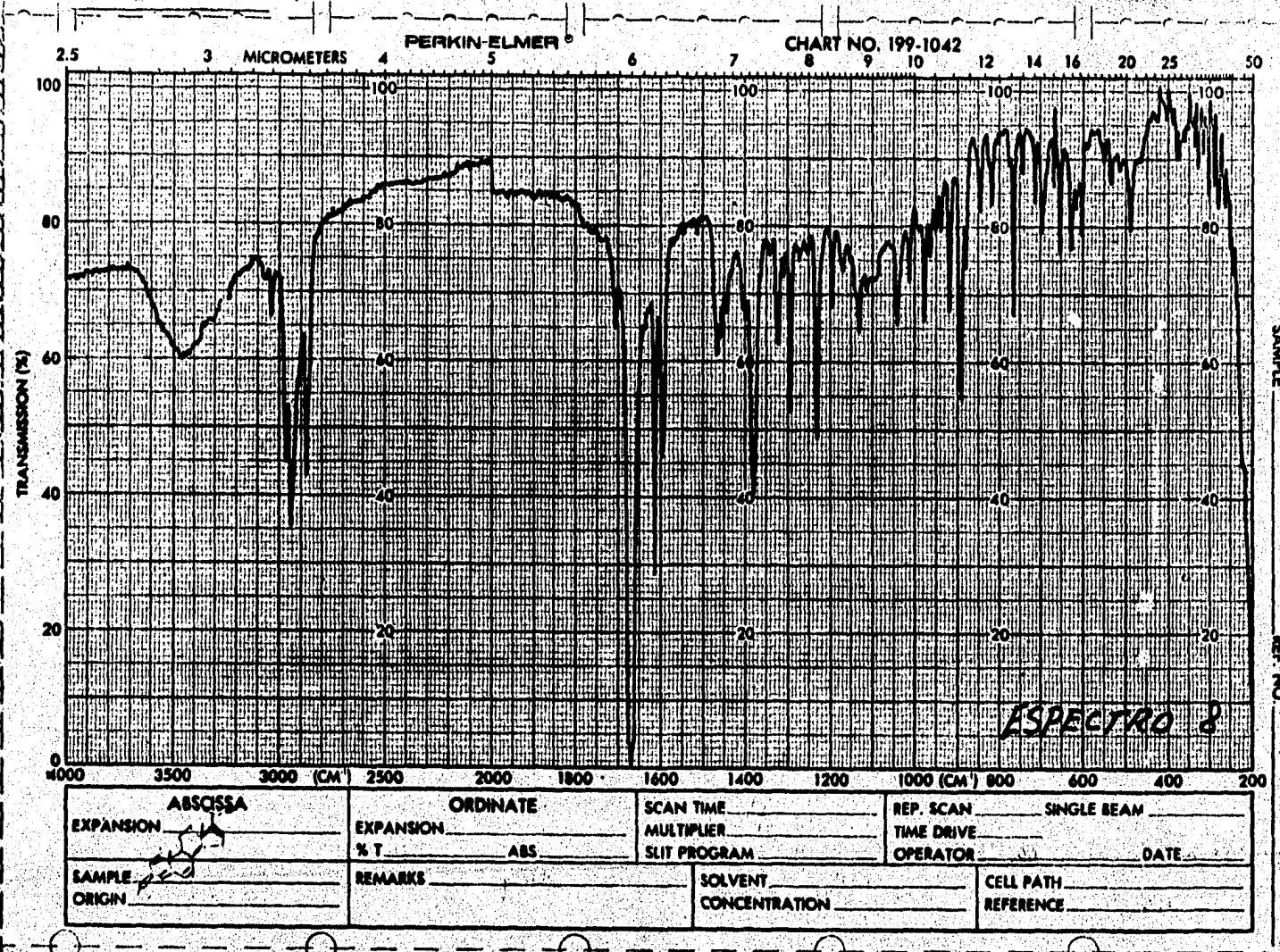


ESPECTRO

SAMPLE	CURVE NO.	SCAN SPEED	OPERATOR
ORIGIN	CONC.	SLIT	DATE
SOLVENT	CELL PATH	REMARKS	
	REFERENCE		

PART NO. 202-1511-15*

PERKIN-ELMER

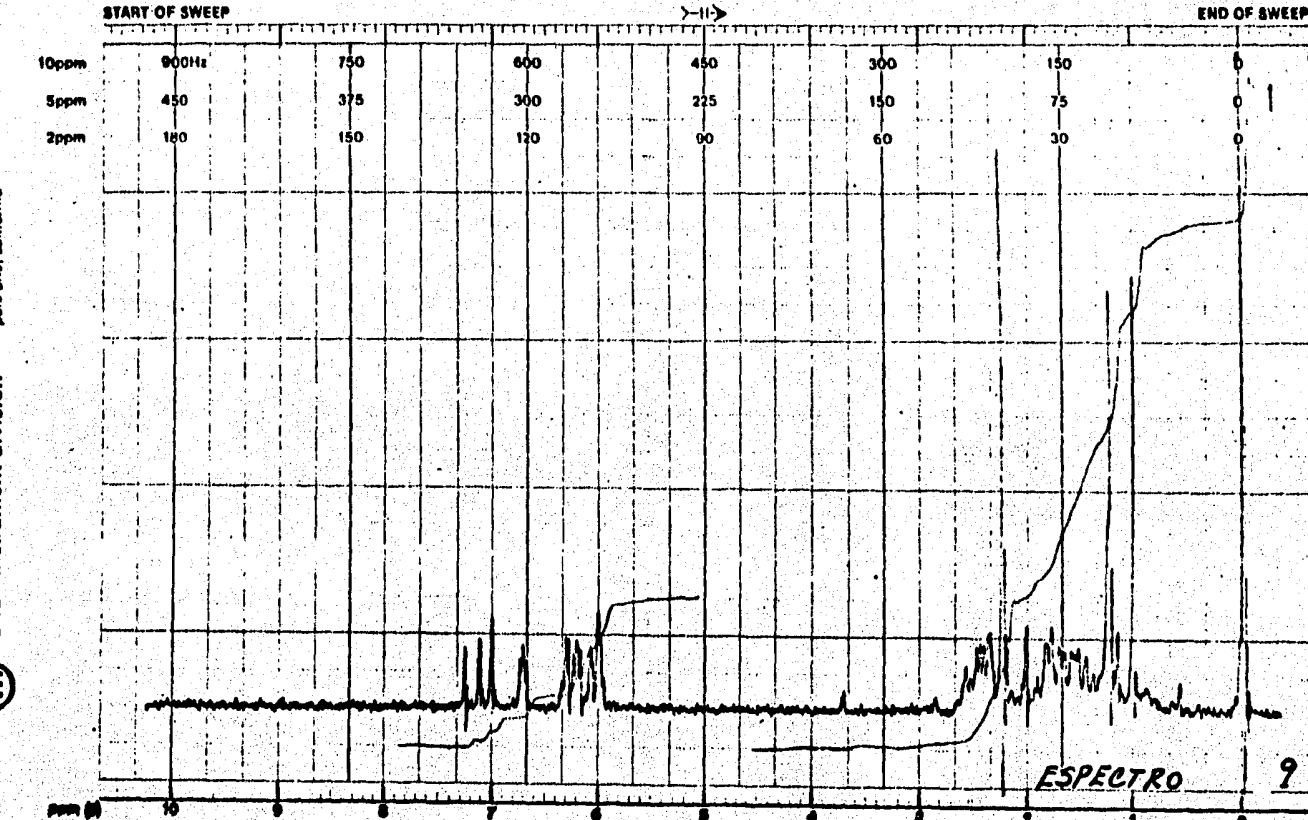


Varian Associates



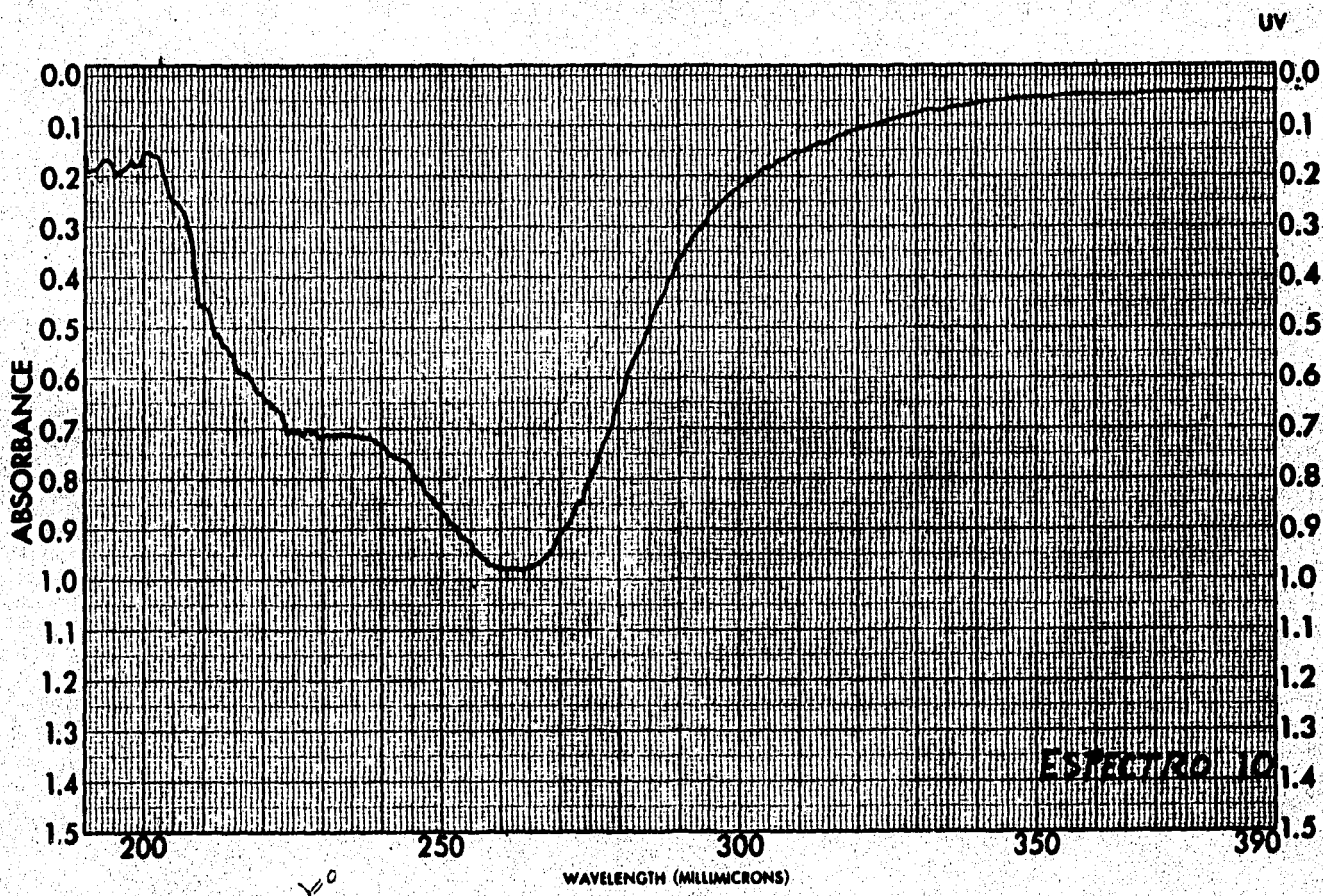
varian instrument division

PARIS 20 757243



LOCK POS. DPPM SPECTRUM AMPL. 1.00% SWEEP TIME 5 min NUCLEUS ¹H SAMPLE: *Benzyl* OPERATOR: *Allyn*
LOCK POWER mW FILTER 0.05 sec SWEEP WIDTH 10 ppm ZERO REF. FMS DATE 9-14-63
DECOUPLE POS. DPPM RF POWER 0.05 mW END OF SWEEP 0 ppm SAMPLE TEMP. 25 C SOLVENT: *C6D6* SPECTRUM NO. 7892

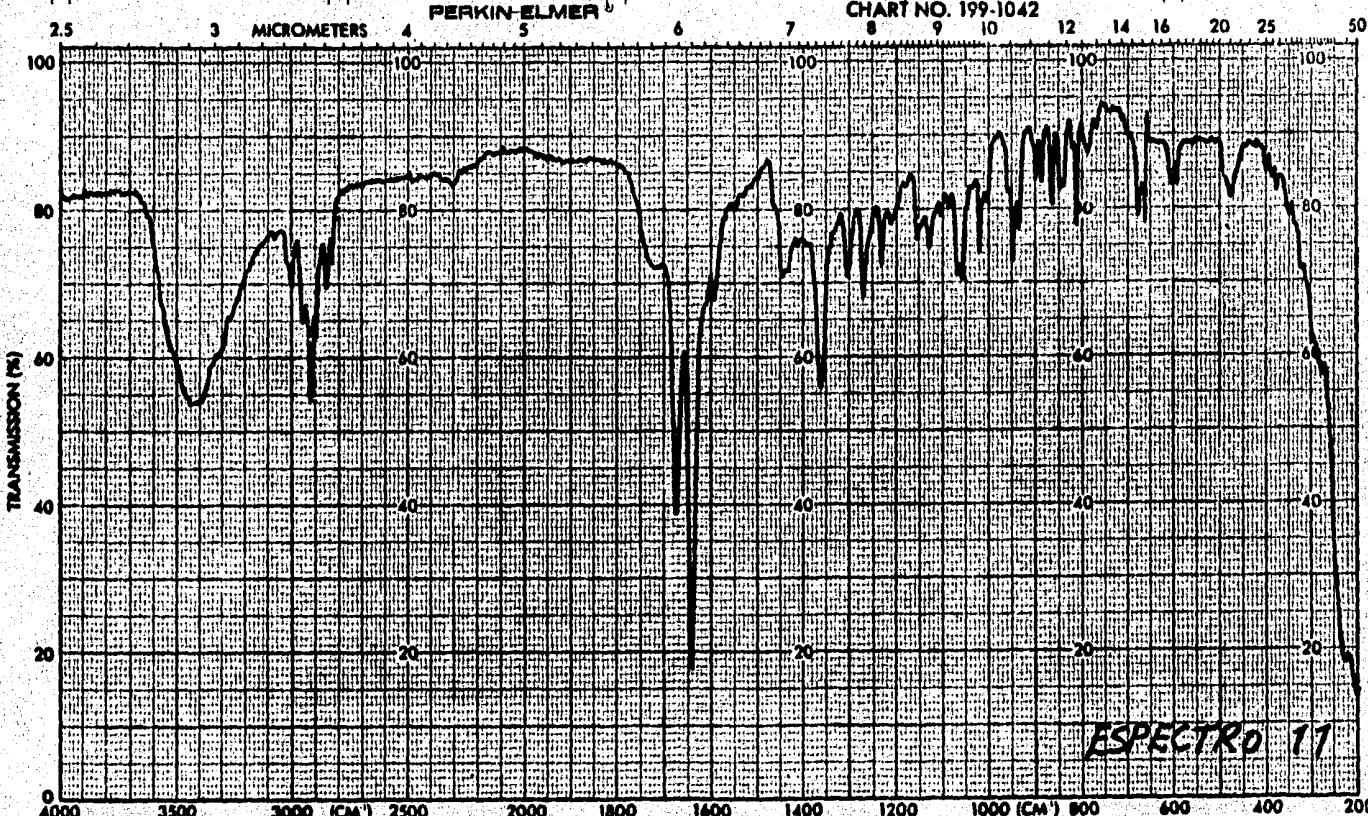
c1ccc(cc1)C



SAMPLE 	CURVE NO. 4995	SCAN SPEED fast	OPERATOR Chela
ORIGIN Koda Clin Kacial	CONC. 1.0	BUT 1	DATE 19/11/93
SOLVENT H ₂ O/H ₂	CELL PATH 1cm	REMARKS Recalibration 3 reflections	
REFERENCE HgCl ₂			

PART NO. 202-1511-22*

PERKIN-ELMER

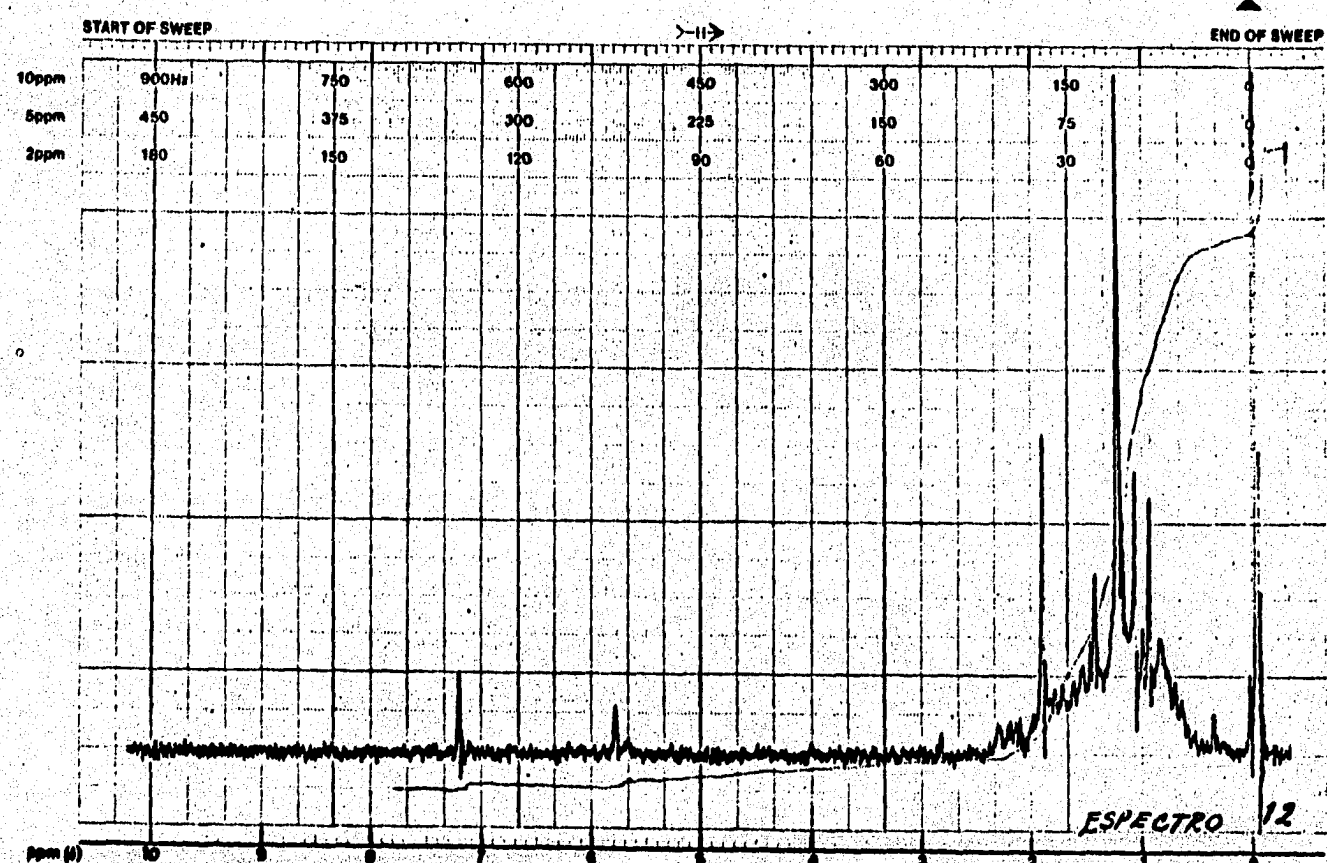


ABSCISSA EXPANSION	ORDINATE EXPANSION	SCAN TIME 17	REP. SCAN SINGLE BEAM
SAMPLE	% T	TIME DRIVE 12	DATE 10-3-84
ORIGIN <i>House Flde. C. corr.</i>	REMARKS <i>polyester</i>	OPERATOR <i>Ab. 11-11-84</i>	CELL PATH
		SOLVENT <i>ICP</i>	REFERENCE <i>QFC</i>
		CONCENTRATION	

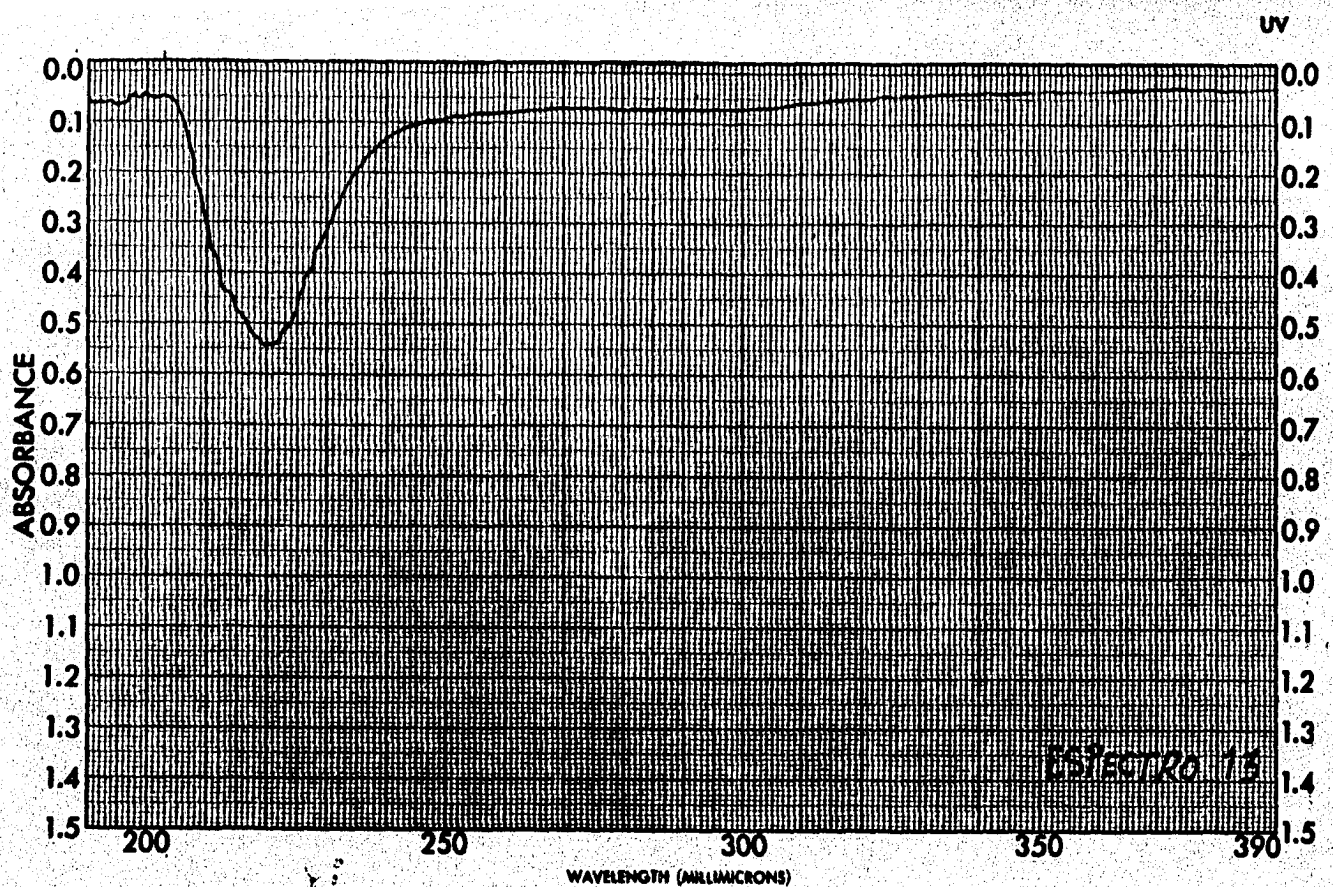
EM-390 90 MHz NMR SPECTROMETER

varian instrument division
palo alto, california

PRINTED IN U.S.A.



LOCK POS. 0.000 SPECTRUM AMPL. 1.000 SWEEP TIME 10 min NUCLEUS ¹H SAMPLE: 2methyl OPERATOR Aljazemic
 LOCK POWER mG FILTER 0.01 sec SWEEP WIDTH 10 ppm ZERO REP. 700 DATE 9-16-83
 DECOUPLE POS. 0.000 RF POWER 0.05 mW END OF SWEEP 0 ppm SAMPLE TEMP. 0 C SOLVENT: CDCl₃
 DECOUPLING POWER mG RF POWER 0.05 mW END OF SWEEP 0 ppm SAMPLE TEMP. 0 C SOLVENT: CDCl₃ SPECTRUM NO. 1114



SAMPLE	11.511	CURVE NO.	3001	SCAN SPEED	fast	OPERATOR	1110-
CONC.				SALT	7.5	DATE	8/4/73
ORIGIN	11.511	CELL PATH				REMARKS	
SOLVENT	11.511	REFERENCE					

PART NO. 202-1511

PERKIN-ELMER

PERKIN ELMER®

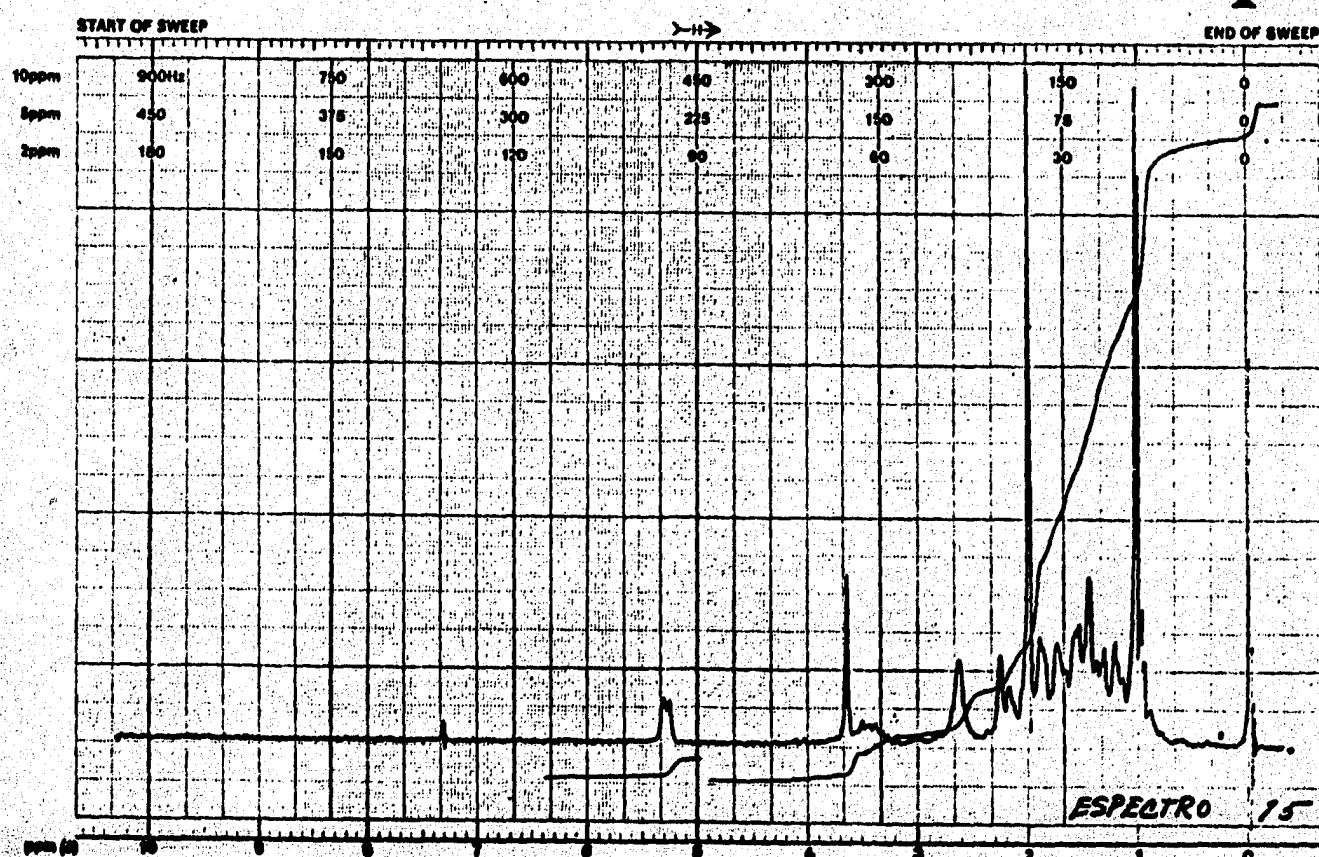
CHART NO. 199-1042



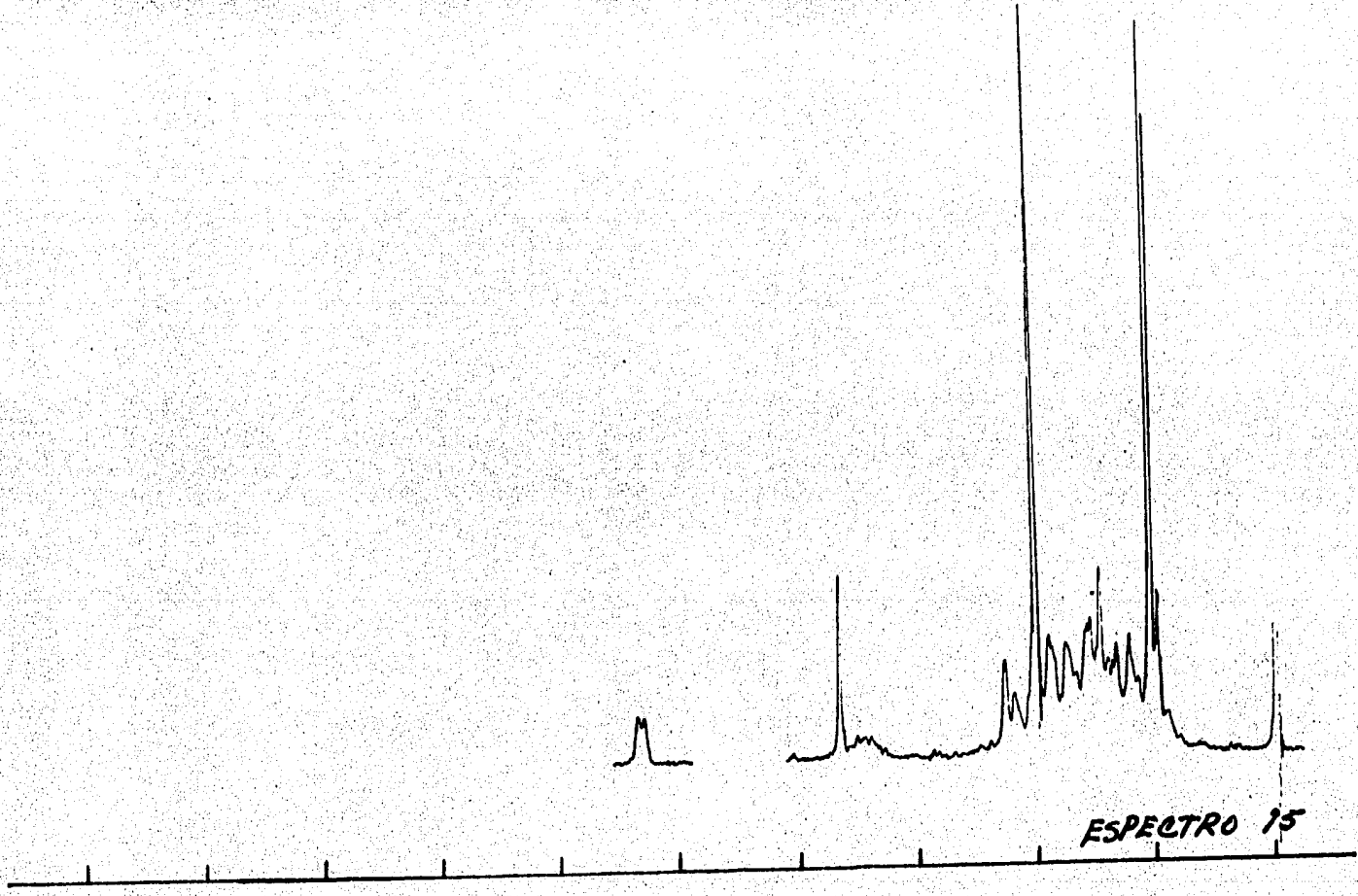
ABSCISSA EXPANSION	ORDINATE EXPANSION	SCAN TIME	REP. SCAN	SINGLE BEAM
% T	ABS	MULTIPLIER	TIME DRIVE	
SAMPLE	REMARKS	SLIT PROGRAM	OPERATOR	DATE
ORIGIN				1/11/67

Varian Associates

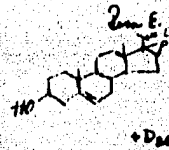
Varian instrument division Palo Alto, California



LOCK POS. _____ ppm SPECTRUM AMPL. 3 dB SWEEP TIME 5 min NUCLEUS ^1H SAMPLE: *Resin char 2* OPERATOR *H. Johnson*
LOCK POWER 100 mW FILTER 0.05 sec SWEEP WIDTH 12 ppm ZERO REF. TMS
DECOUPLE POS. 100 ppm END OF SWEEP 0 ppm SAMPLE TEMP. 20 °C SOLVENT: *D₂O*, 1:2 v/v
DECOUPLING POWER 100 mW RF POWER 0.05 mW DATE 10-1-71
SPECTRUM NO. 1436

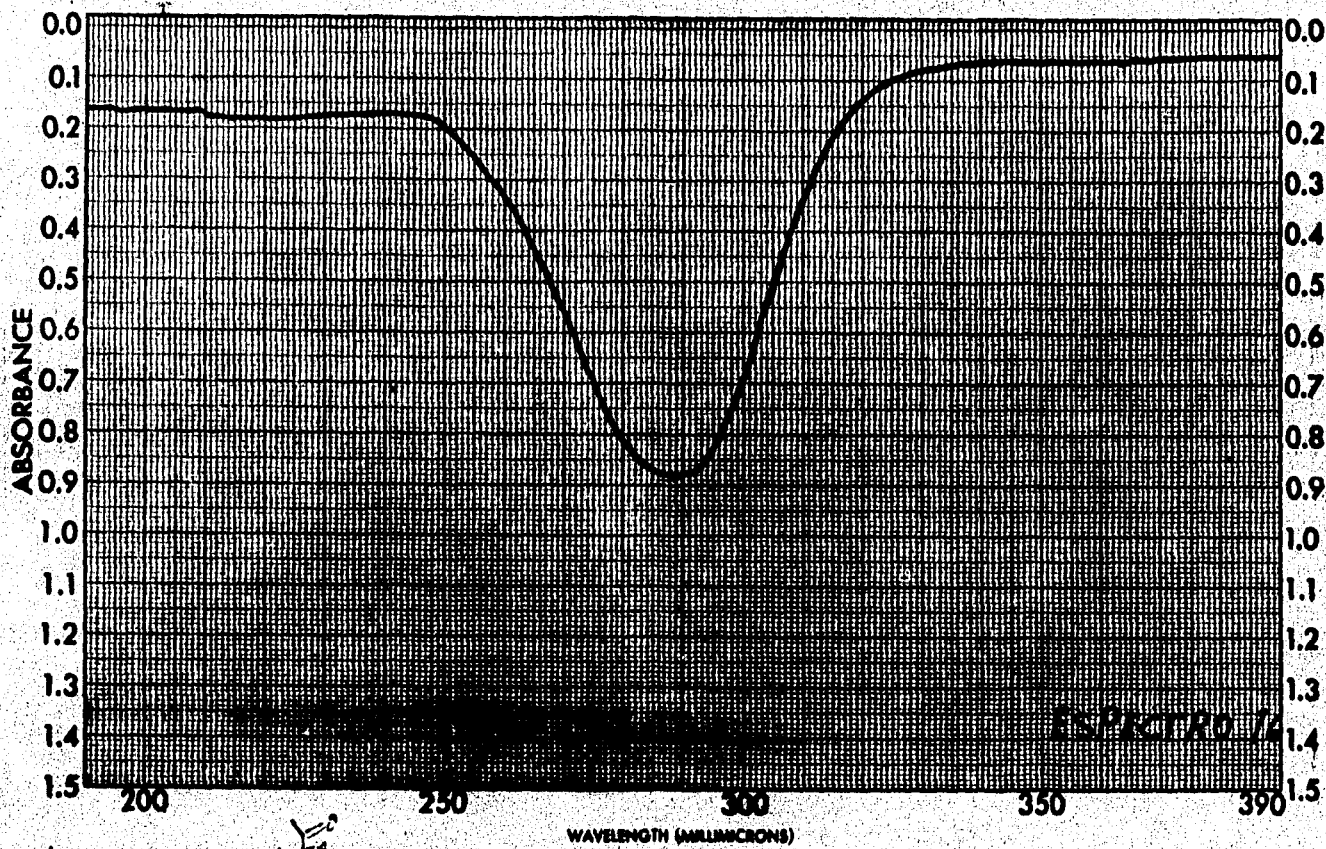


ESPECTRO 95



16-I-84

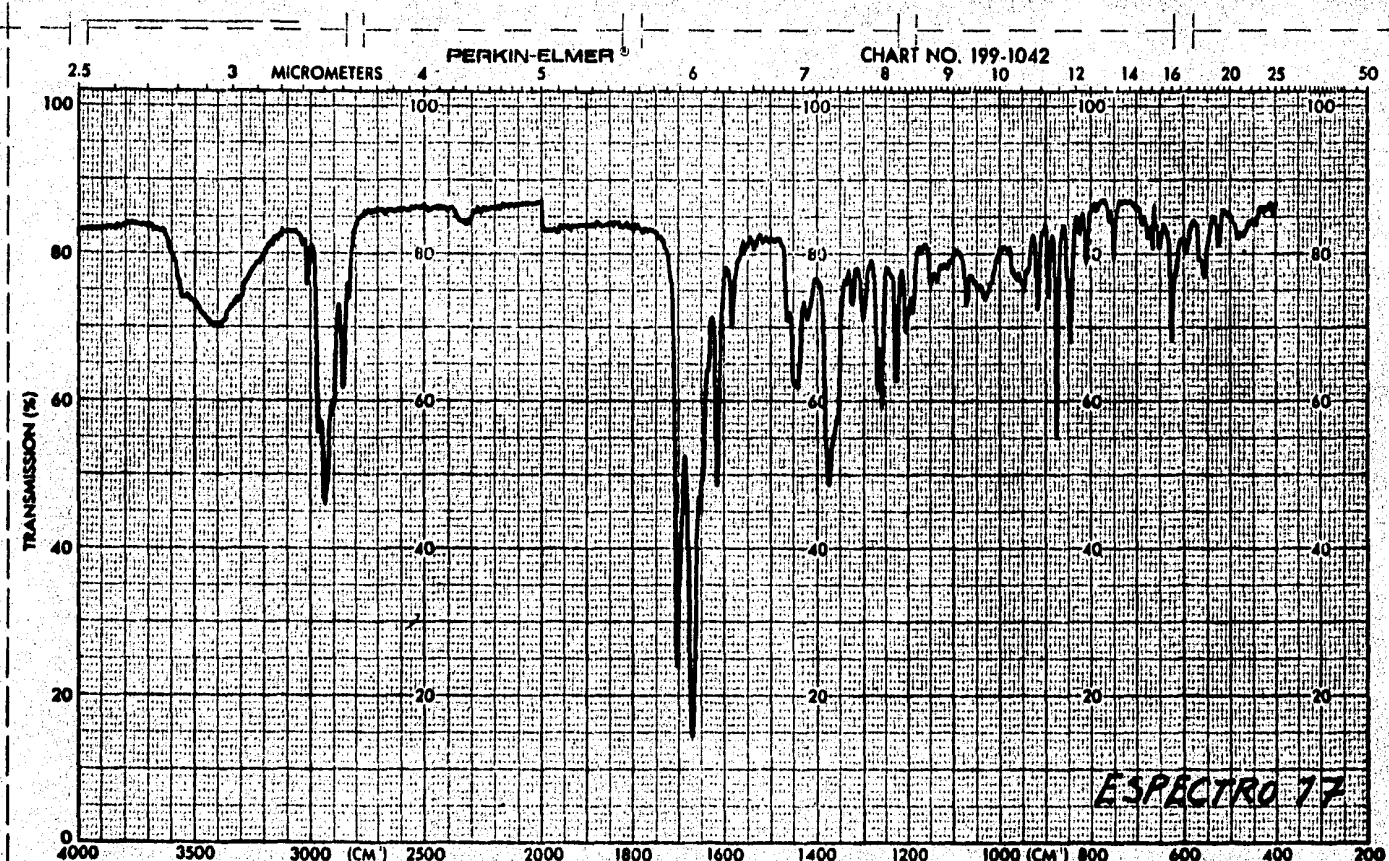
1496



SAMPLE	①	CURVE NO.	5637	SCAN SPEED	fast	OPERATOR	Chela
ORIGIN	Rosa Evar Roma S	CONC.		SLIT	75	DATE	1/4/83
SOLVENT	Methanol	CELL PATH	1cm	REMARKS: Cetyltrim			
		REFERENCE	Histerol				

PART NO. 202-1511

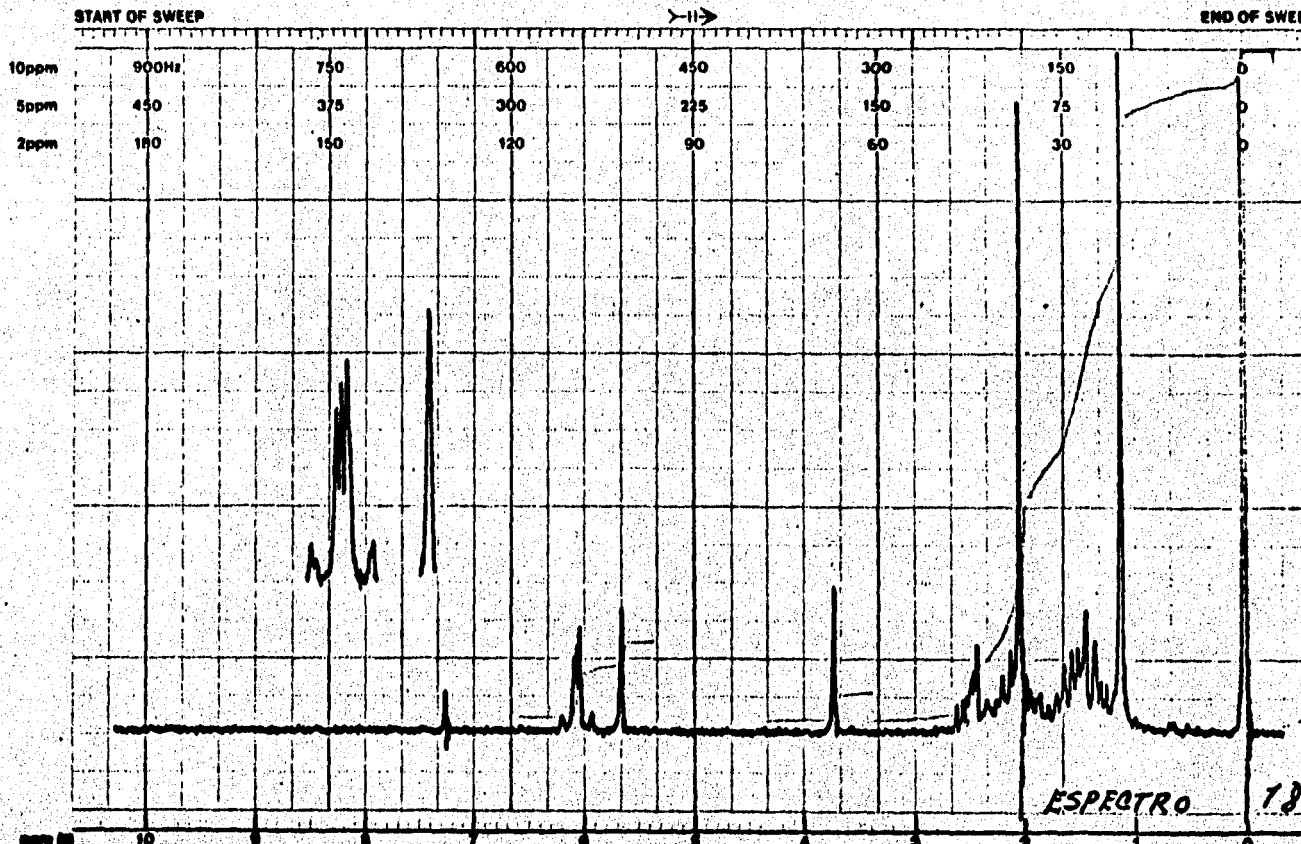
PERKIN-ELMER



Varian Associates
Palo Alto, California

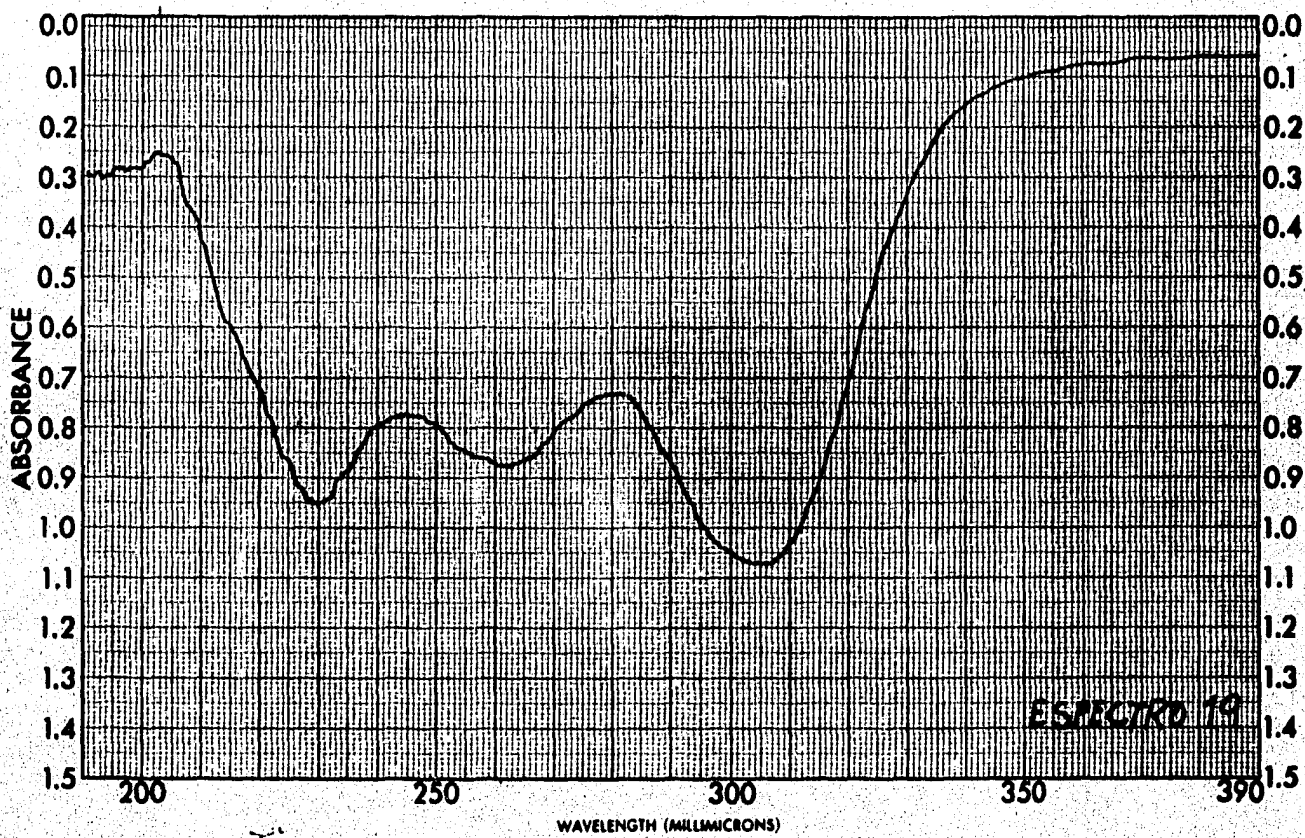


varian instrument division



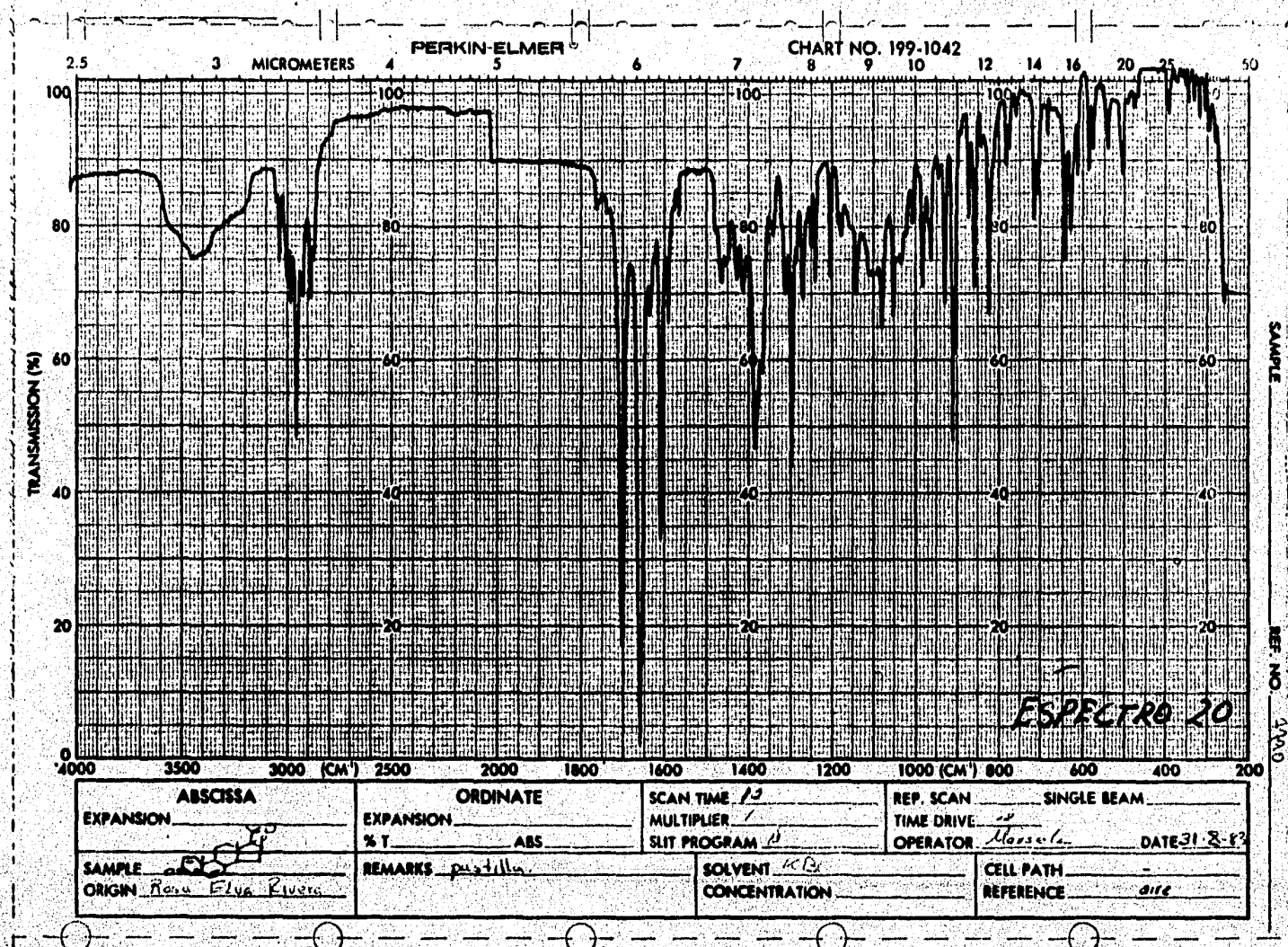
LOCK POS. ppm SPECTRUM AMP. 2.3 ± 100.0 SWEEP TIME 5 min NUCLEUS ¹³C
LOCK POWER mW FILTER 0.01 SEC SWEEP WIDTH 10 ppm ZERO REF. 7.261
DECOUPLE POS. ppm RF POWER 0.01 mW END OF SWEEP
DECOUPLING POWER mW SAMPLE TEMP. 0 °C SOLVENT: CDCl₃
SAMPLE: *benzylidene* OPERATOR *Bijudine*
DATE 6-1-73 SPECTRUM NO. 800



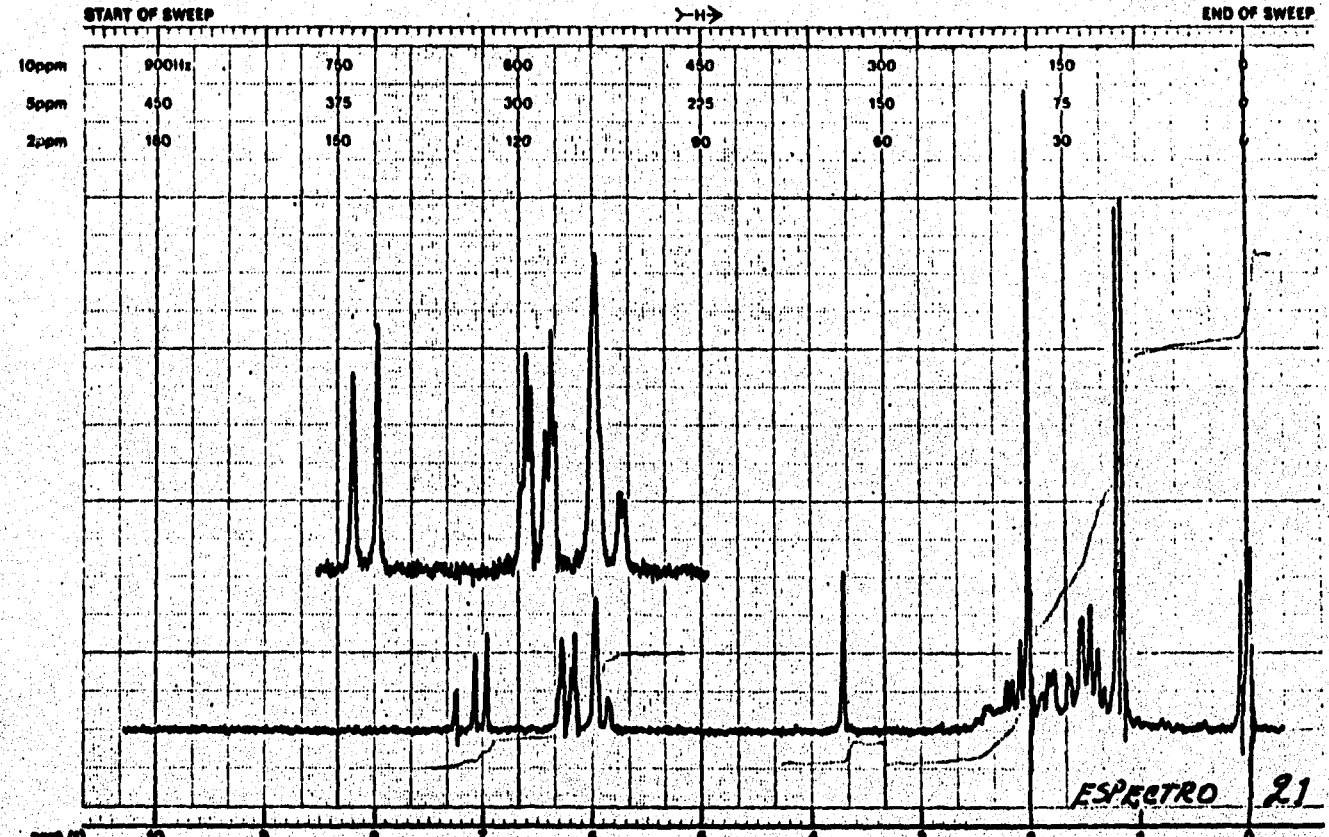


PART NO. 202-1511 REV. B

PERKIN-ELMER

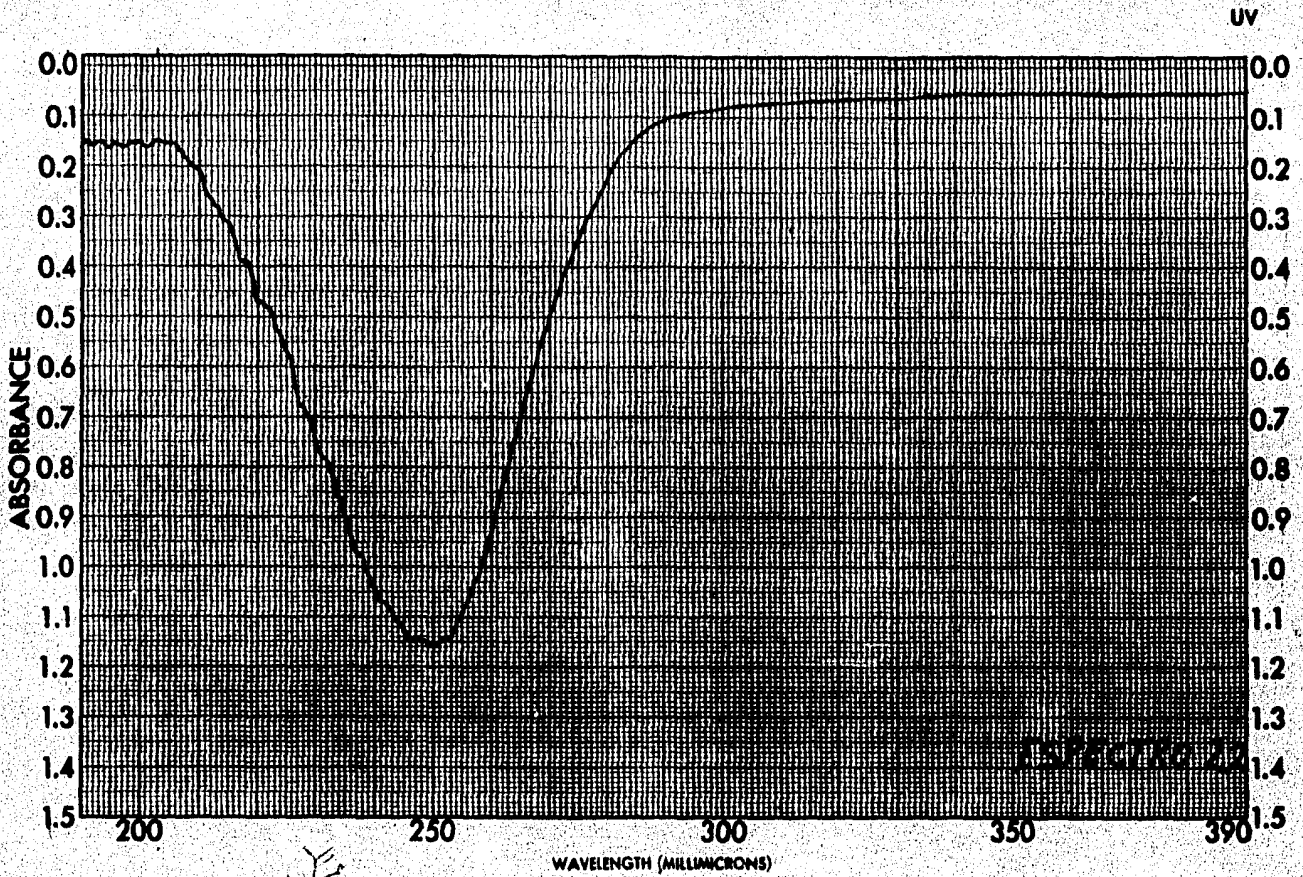


 Varian Instrument division
palo alto, California



LOCK POS. 0 ppm SPECTRUM AMPLE. 11000 SWEEP TIME 5 min NUCLEUS ^1H SAMPLE: *Spectro 21*, Operator *Alphonse*
 LOCK POWER mG FILTER 0.01 sec SWEEP WIDTH 0 (1) ppm ZERO REF. 7mS DATE 18 - 11 - 83
 DECOUPLE POS. 0 ppm RF POWER 0.01 mG END OF SWEEP 0 (3) ppm SAMPLE TEMP. 0 °C SOLVENT: *C6D6*, SPECTRUM NO. 1133

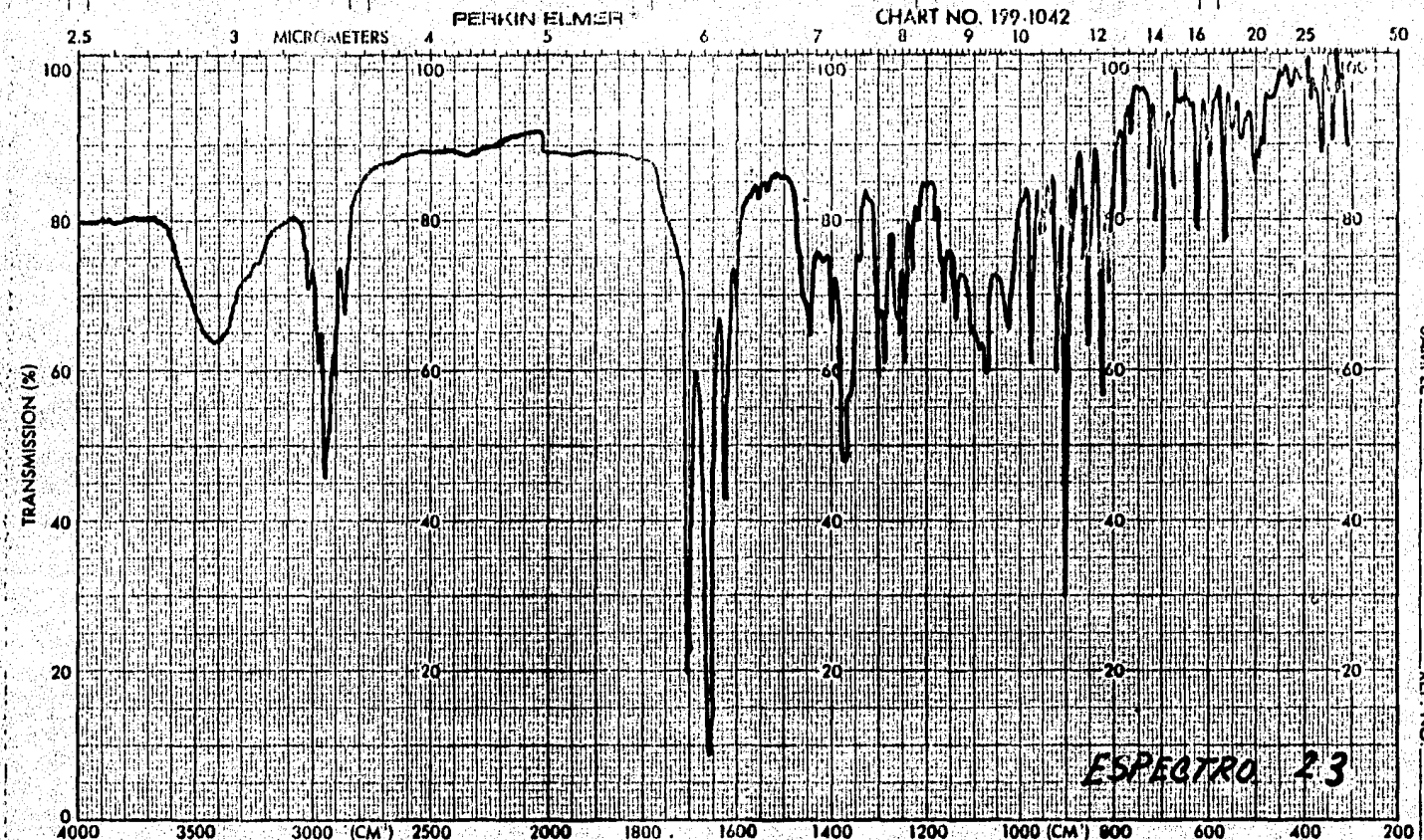
EM-390 90 MHz NMR SPECTROMETER



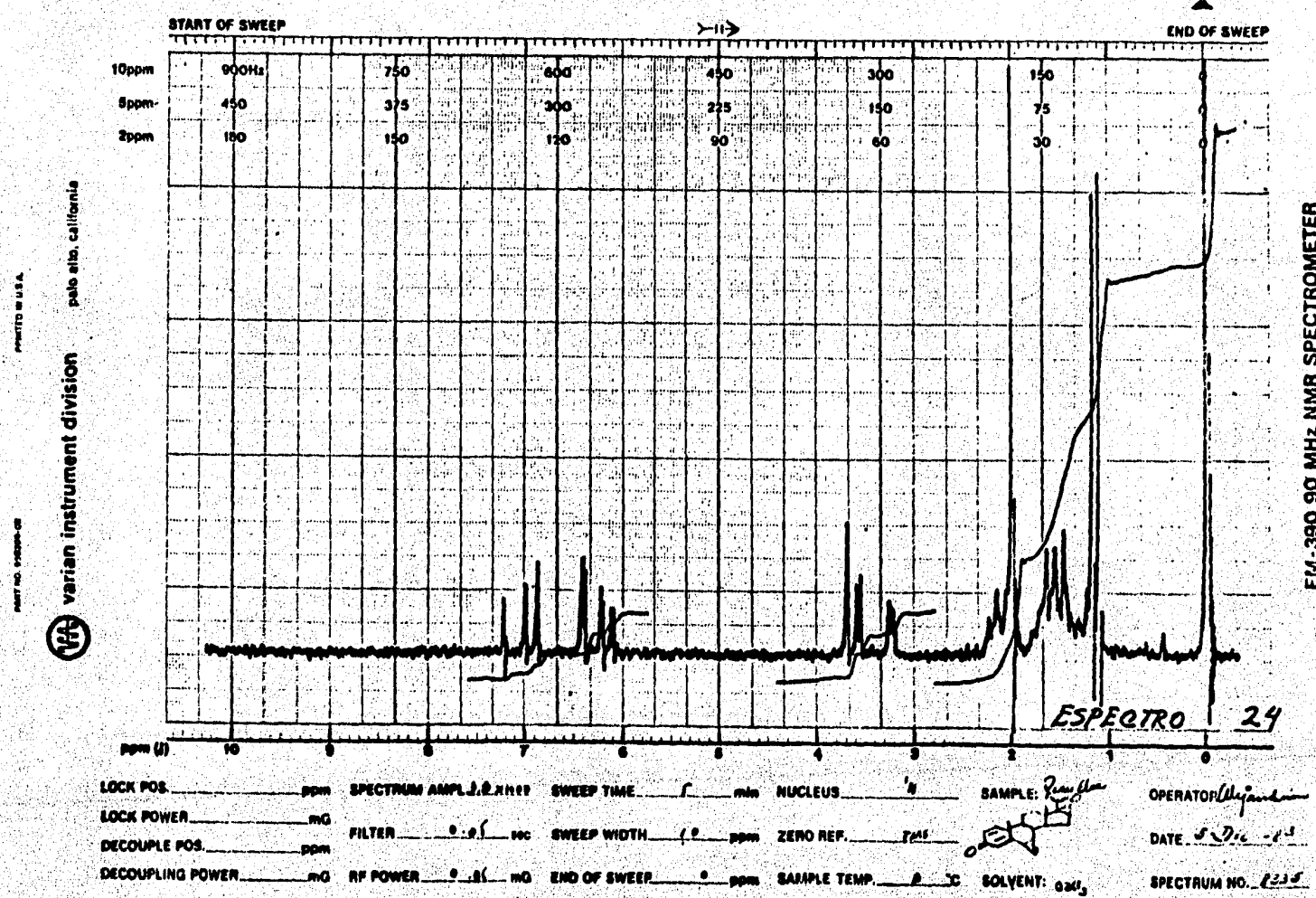
SAMPLE 	CUVE NO. 5094	SCAN SPEED <u>fast</u> SLIT <u>25</u>	OPERATOR <u>Chester</u>
ORIGIN <u>Rin Elmer Series</u>	CONC <u>1 mg/ml</u>	DATE <u>5/10/83</u>	
SOLVENT <u>MeOH</u>	CELL PATH <u>1 cm</u>	REMARKS	
	REFERENCE <u>460 nm</u>		

PART NO. 202-1511 VES®

PERKIN-ELMER



SAMPLE _____ REF. NO. _____



CONCLUSIONES

Mediante las secuencias de reacciones planteadas al inicio de este trabajo se obtuvieron los compuestos deseados, el $1\alpha,2\alpha$; $6\alpha,7\alpha$; $16\alpha,17\alpha$ -triciclo metilén-4-pregnen-3,20-diona (XXVI) y - el $6\alpha,7\alpha$; $16\alpha,17\alpha$ -diepoxi-1,4-pregnadien-3,20-diona (XXX).

Para la adición del metileno, paso correspondiente a la primera síntesis (compuesto XXVI), las condiciones anhidras y la atmósfera de nitrógeno son sumamente importantes.

Tanto para la epoxidación con peróxido, paso correspondiente a la segunda síntesis (compuesto XXX) como para la deshidrogenación de cetonas, etapa realizada en ambas síntesis (compuestos XXV y XXIX), las condiciones anhidras son también muy importantes.

Los rendimientos totales obtenidos para dichas síntesis son bajos: del 10 por ciento para el $1\alpha,2\alpha$; $6\alpha,7\alpha$; $16\alpha,17\alpha$ -triciclo metilén-4-pregnen-3,20-diona (XXVI) y del 17 por ciento para el $6\alpha,7\alpha$; $16\alpha,17\alpha$ -diepoxi-1,4-pregnadien-3,20-diona (XXX).

B I B L I O G R A P I A

1. Goldstein, A., Aronow, L. y Kolman, S. M.. Farmacología. Segunda edición. Editorial Limusa S. A.. México (1978).
2. Valdecasas, F. G. et al. Bases Farmacológicas de la Terapéutica Medicamentosa. Primera edición. Salvat Editores S. A.. Barcelona (1976).
3. Klyne, W.. Química de los Esteroides. Primera edición. Compañía Editorial Argentina S. A.. Barcelona (1970).
4. Makin, H. L. J.. Biochemistry of Steroid Hormones. First edition. Blackwell Scientific Publications. Oxford (1975).
5. Manfred, E. W.. Burger's Medicinal Chemistry. Fourth edition. - John Wiley and Sons Inc.. New York (1979).
6. Wiechert, R. et al. Arzneim. Forsh., 17, 1103 (1967); C. A. 67, 114056m (1967).
7. Briggs, M. and Brotherton, J.. Steroid Biochemistry and Pharmacology. Academic Press. New York (1970).
8. Bratoeff, E. y Rodríguez, G.. Síntesis de un Nuevo Derivado del Pregnano de Actividad Antiandrógenica Potencial. Rev. Mex. de

Cienc. Farm. 13 1, 20 (1982).

9. Morrison, R. T. y Boyd, R. N.. Química Orgánica. Tercera edición. Fondo Educativo Interamericano S. A.. Massachusetts - (1976).
- Richards, J. H., Cram, D. J. y Hammond, G. S.. Elementos de Química Orgánica. Primera edición. McGraw Hill. México (1979).
10. Shapiro, E. et al. 16-Alkylated Progesterones. J. Med. Pharm. - Chem. 5, 975 (1962).
11. Dorfman, L.. Ultraviolet Absorption of Steroids. Chem. Rev. 53, 47 (1955).
12. Nakanishi, K.. Infrared Absorption Spectroscopy. First edition. Holden-Day. Inc.. San Francisco (1962).
13. Silverstein, R. M., Bassler, G. C. y Morril, T. C.. Identificación Espectrométrica de Compuestos Orgánicos. Primera edición. Editorial Diana. México (1980).
14. a. Shapiro, E. L. et al. The Synthesis and Progestational Activity of Some 1,2 α -Cyclomethylene-16-methylene Progesterone Derivatives. J. Med. Chem. 12, 631 (1969).
b. Shapiro, E. L. et al. Synthesis and Biological Activity of - 17-Esters of 6-Dehidro-16-methylene-17 α -hydroxyprogesterones.

J. Med. Chem. 15, 716 (1972).

15. Rasmusson, G. H. et al. Antiandrogens. $2',3'\alpha$ -Tetrahydrofuran- $2'$ -spiro-17-(1,2 α -methylene-4-androsten-3-ones). J. Med. Chem. 15, 1165 (1972).
16. Syhora, K. and Nazac, R.. 3-Oxopregna-4,6-dienes. C. A. 65, 3943c (1966).
17. Berg, R. G.. A Selective Oxidation of Δ^5 - 3β -Hydroxy Steroids to Δ^4 -3-Keto Steroids via 5 α ,6 γ -Dichloro Intermediates. J. Org. Chem. 27, 3350 (1962).
18. Fried, J. and Edwards, J. H.. Organic Reactions in Steroid Chemistry. Van Nostrand Reinhold Company. New York (1972).
19. Walker, D. and Hiebert, J. D.. 2,3-Dichloro-5,6-Dicyanobenzoquinone and its Reactions. Chem. Rev. 67, 153 (1967).
20. Corey, E. J. and Chaykovsky, M.. Dimethyloxosulfoxonium Methyli de ($(CH_3)_2SOCH_2$) and Dimethylsulfoxonium Methylide ($(CH_3)_2SCH_2$) Formation and Application to Organic Synthesis. J. Amer. Chem. Soc. 87, 1353 (1965).
21. Krakower, G. W. and Van Dine, H. A.. The Synthesis of Steroidal Cyclopropane Ketones. J. Org. Chem. 31, 3467 (1966).

22. Julian, P. L. et al. Steroles. XI. 17α -Hydroxy-11-deoxycorticosterone (Reichstein's Substance S). J. Amer. Chem. Soc. 72, 5145 (1950).
23. Julian P. L. et al. 17α -Hydroxy Steroids. J. Amer. Chem. Soc. 71, 756 (1949).